

تحليل اقتصادي لمؤشرات أداء البعد الاقتصادي لتحقيق التنمية المستدامة: رؤية مصر 2030

نادية عزت متاري جاد إبراهيم* - محمد غريب مهدي - محمد التابعي علي

قسم الاقتصاد والإرشاد والمجتمع الريفي - كلية الزراعة - جامعة قناة السويس - الإسماعيلية - مصر

المستخلاص: تهدف الدراسة إلى تحليل مؤشرات أداء البعد الاقتصادي في إطار رؤية مصر 2030، من خلال التتبُّع بخمسة مؤشرات اقتصادية هي: معدل النمو الحقيقي، ونصيب الفرد من الناتج المحلي الإجمالي، ونسبة العجز الكلي إلى الناتج المحلي، ومعدل التضخم، ومعدل البطالة، وذلك باستخدام نماذج السلال الرزمية (ARIMA). وقد أظهرت النتائج أن المؤشرات الاقتصادية لا تزال بعيدة عن المستهدف في رؤية مصر 2030، حيث يتوقع ألا يتجاوز معدل النمو الاقتصادي 4.1% بحلول عام 2030 مقارنة بالمستهدف 12%， ويصل نصيب الفرد من الناتج المحلي إلى 5 آلاف دولار فقط في حين أن المستهدف 10 آلاف دولار، وتبيّن أن نسبة العجز الكلي إلى الناتج المحلي ترتفع إلى 13.3% في حين المستهدف خفضها إلى 2.28%， ويظل معدل التضخم أعلى من المستهدف 5.3%， رغم توقعات بانخفاضه إلى 7.6%， كما يتوقع أن يرتفع معدل البطالة إلى 14%， مقارنة بالمستهدف 5%. وتبيّن من النتائج وجود فجوة متوقعة بين الاتجاهات المستقبلية لأداء المؤشرات الاقتصادية وبين المستهدفات المحددة في رؤية مصر 2030. وتوصي الدراسة بمزيد من السياسات الداعمة لجذب الاستثمارات لزيادة معدل النمو الحقيقي مما يسهم في تحقيق أهداف التنمية المستدامة وفقاً لرؤية مصر 2030.

الكلمات الدالة: التنمية المستدامة - البعد الاقتصادي - رؤية مصر 2030 - نموذج ARIMA

المقدمة

المتغيرات المحلية والعالمية، مما قد يمثل تحدياً لتحقيق الرؤية الطموحة لعام 2030. لذا، تعد هذه الرسالة محاولة لتقديم قياس علمي مبني على التحليل والدليل للوقوف على مدى إنجاز مؤشرات بُعد التنمية الاقتصادية لرؤية مصر 2030.

هدف الدراسة

تهدف الدراسة بشكل رئيسي إلى تحليل مؤشرات أداء البعد الاقتصادي لتحقيق استراتيجية التنمية المستدامة، رؤية مصر 2030 وذلك من خلال التتبُّع ببعض مؤشرات قياس أداء التنمية الاقتصادية والتي تتمثل في:

- مؤشر معدل النمو الاقتصادي الحقيقي.
- مؤشر نصيب الفرد من الناتج المحلي الإجمالي الحقيقي.
- مؤشر نسبة العجز الكلي إلى الناتج المحلي الإجمالي.
- مؤشر معدل التضخم.
- مؤشر معدل البطالة.

الطريقة البحثية ومصادر البيانات

اعتمدت الدراسة في تحقيق أهدافها على أساليب التحليل الوصفي، والتحليل الكمي بالاعتماد على العديد من طرق التحليل الاقتصادي المناسبة وفقاً لطبيعة الأهداف والبيانات المستخدمة. وذلك باستخدام بعض المؤشرات الاقتصادية مثل النسب المئوية، والمتوسطات، ومعادلات الاتجاه الزمني العام، ونموذج (ARIMA) بالتطبيق على برنامج EVIEWS13 للتتبُّع بمؤشرات قياس أداء التنمية الاقتصادية.

واعتمدت الدراسة على البيانات المستخدمة في التحليل الإحصائي على بيانات السلسلة الزمنية خلال فترة الدراسة (2000-2023) وذلك من المصادر المختلفة سواء المنشورة وغير المنشورة مثل الجهاز المركزي للتعبئة العامة والإحصاء، وقاعدة بيانات البنك الدولي، وإحصاءات منظمة الأغذية والزراعة (FAO)، وزارة التخطيط والمتابعة والإصلاح الإداري، وزارة الزراعة واستصلاح الأراضي، وزارة المالية، وزارة الكهرباء والطاقة المتجدد، ومركز المعلومات ودعم اتخاذ القرار، وتقارير التنافسية العالمية، وأيضاً من المراجع العلمية والأبحاث سواء العربية أو الأجنبية ذات الصلة بموضوع الدراسة.

أصبحت التنمية المستدامة ركيزة أساسية في خطط واستراتيجيات الدول المعاصرة، نظراً لما تفرضه التحديات الاقتصادية والاجتماعية والبيئية من ضرورة تبني نموذج تنموي متكامل يوازن بين متطلبات الحاضر وحقوق الأجيال القادمة. وفي هذا السياق، تم الإعلان عن "رؤية مصر 2030" في سبتمبر 2015 كإطار استراتيجي شامل يعكس الرؤية المستقبلية للدولة المصرية نحو تحقيق تنمية مستدامة ترتكز على ثلاثة أبعاد رئيسية: البعد الاقتصادي، والبعد الاجتماعي، والبعد البيئي.

هذا ويضم كل بُعد من هذه الأبعاد مجموعة من المحاور؛ حيث يشمل البعد الاقتصادي محاور التنمية الاقتصادية، والطاقة، والمعارف والابتكار والبحث العلمي، والشفافية وكفاءة المؤسسات الحكومية. بينما يضم البعد الاجتماعي محاور العدالة الاجتماعية، التدريب والتعليم، الصحة، الثقافة. أما البعد البيئي، فيتضمن محوري البيئة، والتنمية العمرانية.

ويُعدّ البعد الاقتصادي أحد الأبعاد الأساسية في تحقيق أهداف التنمية المستدامة، والذي يهدف إلى تحقيق استقرار أوضاع الاقتصاد الكلي، وزيادة التنافسية، وتوفير فرص عمل لائق، وغيرها من الأهداف الطموحة. ومن ثم، فإن تحليل مؤشرات أداء البعد الاقتصادي يُعد خطوة أساسية لفهم واقع الاقتصاد المصري وتحديد درجة التوافق بين الأداء الفعلي والمستهدف في ضوء المؤشرات الكمية المحددة في رؤية مصر 2030.

مشكلة الدراسة

على الرغم من الجهود الحكومية في قياس مؤشرات الأداء المرتبطة بهذه الاستراتيجية، تبيّن غياب الدراسات الأكاديمية المعمقة التي تقوم بتحليل هذه المؤشرات، وتشخيص الفجوات، وتحديد التحديات الهيكلية التي تعيق تحقيق الأهداف المخطط لها، خاصةً بعد مرور نحو عشر سنوات على تطبيق الاستراتيجية.

تمثل الإشكالية الرئيسية في أن الاعتماد على الجهات التنفيذية في رصد المؤشرات دون وجود تحليلات بحثية شاملة يُضعف القدرة على فهم ديناميكيات الأداء الاقتصادي، ويحد من إمكانية وضع حلول استباقية للتحديات الناشئة. كما أن عدم توافق دراسات تُركز على البُعد الاقتصادي للتنمية المستدامة في مصر قد يساهم في صعوبة مواءمة السياسات مع

$$Y_t = c + \theta_1 w_{t-1} + \theta_2 w_{t-2} + \dots + \theta_p w_{t-p} + \varepsilon_t \quad (1)$$

حيث ε_t : تمثل قيمة الظاهرة المدروسة في الزمن t

c : تمثل الثابت

$\theta_1, \theta_2, \dots, \theta_p$: تمثل معلمات النموذج

$w_{t-p}, w_{t-2}, w_{t-1}$: تمثل قيمة الظاهرة المرتدة زمنياً خلال الزمن t
 ε_t : الخطأ العشوائي المستقل ويسمى White Noise بمتوسط مقداره صفر.

- (I) رتبة الفرق المستخدم من أجل جعل السلسلة الزمنية مستقرة.

Moving Average (MA)-Model: نموذج المتوسطات المتحركة (MA)

نموذج المتوسطات المتحركة من الدرجة (q) يرمز له بالرمز (MA(q))، الذي يشير إلى أن خط الانحدار هو في الواقع مزيج خطي من خطأ التي حدثت قيمها بشكل متزامن وفي أوقات مختلفة في الماضي، ويمكن كتابته على النحو التالي:

$$Y_t = \mu + \varepsilon_t - \alpha_1 \varepsilon_{t-1} - \alpha_2 \varepsilon_{t-2} - \dots - \alpha_q \varepsilon_{t-q} \quad (2)$$

حيث μ : تمثل الثابت

$\alpha_1, \alpha_2, \dots, \alpha_q$: تمثل معلمات نموذج المتوسطات المتحركة

$\varepsilon_t, \varepsilon_{t-1}, \varepsilon_{t-2}, \dots, \varepsilon_{t-q}$: تمثل الأخطاء السابقة في الزمن t

وبالتالي يرمز للنموذج (p,q) حيث (p) تشير إلى رتبة نموذج الانحدار الذاتي، بينما (q) تشير إلى رتبة نموذج المتوسطات المتحركة، أما (d) (تشير إلى الفروق). إذا كانت ($d=1$)، فأننا يمكن كتابة النموذج على النحو التالي:

$$w_t = c + \theta_1 w_{t-1} + \theta_2 w_{t-2} + \dots + \theta_p w_{t-p} + \varepsilon_t - \alpha_1 \varepsilon_{t-1} - \alpha_2 \varepsilon_{t-2} - \dots - \alpha_q \varepsilon_{t-q}$$

حيث $w_t = y_t - y_{t-1}$ ولا تتضمن نماذج أريما متغيرات مستقلة، بل تستخدم المعلومات الموجودة في السلسلة الزمنية نفسها لتوليد التنبؤ، على عكس الانحدار الخطى.

- 2- مراحل بناء نموذج (ARIMA) مناسب للتنبؤ باستخدام تحليل السلسلات الزمنية: يتبع من خلال

شكل (I) أن بناء نموذج (ARIMA) من نماذج بوكس-

Jenkins Box- Jenkins

يعتمد على أربع مراحل تكرارية لبناء نموذج مناسب يمكن أن يستخدم في التنبؤ بقيم المتغيرات محل الدراسة.

أولاً: الإطار النظري لنموذج التحليل القياسي:

أصبح موضوع التنبؤ أهمية بالغة في الأبحاث والدراسات الاقتصادية عن طريق رسم السياسات الاقتصادية والاجتماعية لفترات مستقبلية وذلك من خلال استخدام البيانات المتوفرة عن الظاهرة محل الدراسة، كما أصبح لتبؤ دور مهم وبارز عند صياغة السياسات واتخاذ القرارات الاقتصادية، حيث يعتبر التنبؤ ما هو إلا رؤية للمستقبل للمتغيرات الاقتصادية.

1- الأسس النظرية لمنهجية بوكس- جنكير (Box-Jenkins)

وضع الباحثان Gwilym Jenkins - George Box عام 1970 في كتابهما Time series Analysis Forecasting & control طريقة التطبيق العلمي لمعالجة وتحليل السلسلة الزمنية بهدف التنبؤ، حيث تمتاز هذه الطريقة بالدقة، وتعتمد نماذج بوكس- جنكير على استخدام مبدأ المتوسطات المتحركة ومبدأ الانحدار الذاتي وتشترط هذه المنهجية استقرار السلسلة الزمنية، بمعنى أن يكون المتغير التابع له متوضطاً وتباين ثابتين خلال الفترة الزمنية موضع الدراسة، أما إذا كانت غير ساكنة يتعين إجراء التعديلات اللازمة حتى تستقر.

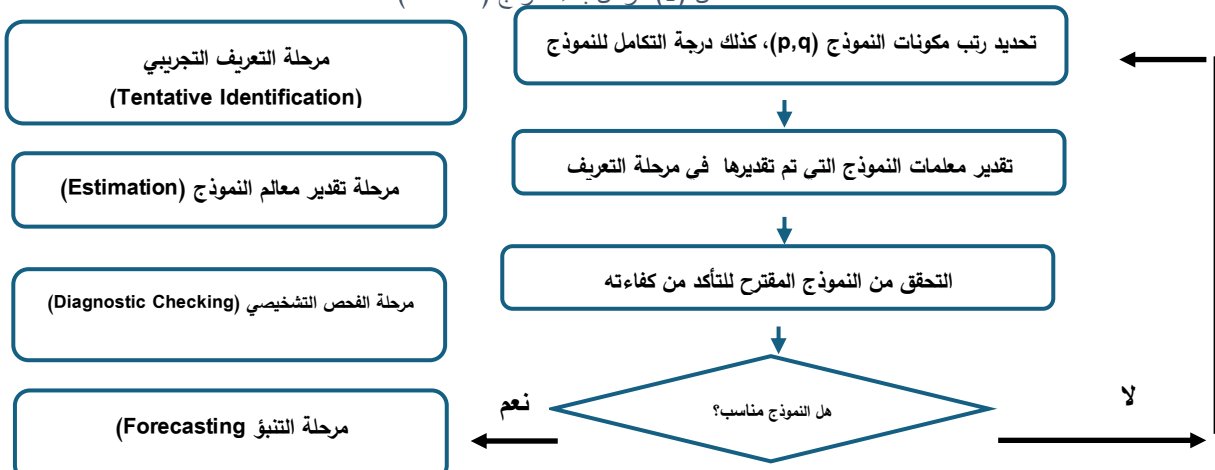
ومن المعروف أن السلسلة الزمنية هي مجموعة من المشاهدات لظاهرة معينة خلال فترات متتالية. وقد تكون السلسلة الزمنية إما ساكنة stationary إذا كانت خصائصها الإحصائية لا تتأثر بالزمن أو غير ساكنة non-stationary إذا تأثرت هذه الخصائص بالزمن. ويمثل نموذج السلسلة الزمنية Time Series Model الدالة التي تربط قيم السلسلة الزمنية بالقيم السابقة لها وأخطائها.

وإن تحليل السلسلة الزمنية من الموضوعات الإحصائية الهامة التي تهتم بدراسة سلوك السلسلة الزمنية بالإضافة إلى بناء نموذج يفسر سلوكها، والذي بدوره يستخدم في التنبؤ بسلوكها في المستقبل. ومن أشهر هذه النماذج، نموذج الانحدار الذاتي المتكامل والمتوسطات المتحركة Autoregressive Integrated Moving Average (ARIMA) Model ، الذي يعد من أكثر النماذج المستخدمة في التنبؤ بالسلسلة الزمنية. حيث إن اختصار (ARIMA) مباشر للغاية ويمكن توضيحه باختصار كما يلي:

(AR)- نموذج الانحدار الذاتي (Autoregressive Model):

نموذج الانحدار الذاتي من الدرجة (p) يرمز له بالرمز (AR(p)) وفيه ينحدر المتغير على قيمه السابقة المتأخرة، ويمكن كتابته على النحو التالي:

شكل (1) مراحل بناء نموذج (ARIMA)



المصدر: ماجدة مدحت حسين، عبدالله عبد المقصود أحمد، أسماء محمد الطوخي، محمد سعيد أمين، استخدام نماذج (ARIMA) للتنبؤ بالمتغيرات الاقتصادية للبرتقال في مصر، المجلة العلمية للعلوم الزراعية، كلية الزراعة، جامعة بنها، المجلد (5)، العدد (4)، 2023.

لاختبار لفرق من درجة أعلى وهكذا، وفي حالة الحصول على سلسلة ساكنة تكون درجة التكامل (d) متساوية لعدد الفروق اللازمة لتحويل السلسلة إلى سلسلة ساكنة.

ثانياً: تحديد رتبة مكون الانحدار الذاتي p ورتبة المتوسط المتحرك q. حيث يمثل سلوك دالة الارتباط الذاتي والارتباط الذاتي الجزئي مرشدًا على رتب الانحدار الذاتي والمتوسط المتحرك التي يمكن اختيارها لبناء نموذج يمكن أن يستخدم للسلسة محل الدراسة. حيث يمكن في هذه المرحلة اقتراح أكثر من نموذج ثم المفاضلة بين تلك النماذج المقترحة باستخدام أحد المقاييس التي تستخدم للمفاضلة بين النماذج مثل Normalized AIC (Akaike Information Criterion) أو Normalized BIC (Bayesian Information Criterion) ، وتكون الأفضلية من بين النماذج المقترحة للنموذج الذي يحقق أقل قيمة لهذه المقاييس، ثم الانتقال إلى المرحلة التالية.

b- مرحلة تقدير المعامل للنموذج Estimation

فيها يتم تقدير معالم النموذج المناسب في الخطوة الأولى، حيث يتم تقدير معالم مكون الانحدار الذاتي ومعالم مكون المتوسط المتحرك وكذلك الحد الثابت.

ج- مرحلة الفحص التشخيصي Diagnostic Checking

هي المرحلة التي يتم فيها التحقق من أن النموذج الذي تم اختياره مستقرًا، وبالتالي متطلبات النموذج المستقر :

- إن بقايا النموذج عبارة عن ضوضاء بيضاء إحصائية (Ljung-Box Q)، فرضية عدم: بقايا النموذج عبارة عن ضوضاء بيضاء .
- يجب أن تقع جميع جذور كل من (AR) (MA) داخل أو على حدود دائرة الوحدة.

إذا كانت الشروط متحققة: يمكن التنبؤ بها.

غير متحققـة: تحتاج إلى تكرار طريقة الاختيار والتقييم. حيث نكرر مع نموذج آخر محتمـل.

d- مرحلة التنبؤ Forecasting

المرحلة الأخيرة من مراحل تحليل السلسة الزمنية هي التنبؤ بالقيم المستقبلية للسلسلة الزمنية باستخدام النموذج الناتج من الخطوات الثلاثة السابقة.

ثانياً: الإطار التطبيقي لنموذج التحليل القياسي

يتضمن هذا الإطار تطبيق مراحل نموذج ARIMA للتنبؤ بمؤشرات قياس أداء التنمية الاقتصادية، وذلك نظرًا لدقته وفعاليته في تحليل السلسلة الزمنية والتنبؤ باتجاهاتها المستقبلية. حيث تشمل هذه المؤشرات معدل النمو الاقتصادي الحقيقي، ونصيب الفرد من الناتج المحلي الإجمالي، ونسبة العجز الكلي إلى الناتج المحلي الإجمالي، ومعدل التضخم، ومعدل البطالة.

A- مرحلة التعريف التجاري Tentative Identification

في هذه المرحلة يتم تحديد رتب مكونات النموذج (p,q), كذلك درجة التكامل للنموذج (d).

أولاً: يتم في هذه المرحلة اختبار السكون للسلسلات الزمنية. حيث يُعد الإجراء الأول في تقدير وقياس العلاقات بين المتغيرات الاقتصادية في إطار السلسلات الزمنية طويلة الأجل حيث إذا كانت متغيرات النموذج عبارة عن سلسل زمانية، وحيث إنه في الغالب إدخال السلسلات الزمنية في نموذج الانحدار يقضي إلى نتائج مضللة مثل ارتفاع قيمة معامل التحديد (R^2) حتى في ظل عدم وجود علاقة حقيقة Spurious بين المتغيرات، وهذا ما يوصف بالانحدار الزائف (Regression)، لذلك لا بد من التأكيد من سكون هذه السلسلات الزمنية لكل متغير على حده. ولاختبار سكون (Stationarity) (Unit Root Test) وعلى الرغم من تعدد اختبارات جذر الوحدة إلا أن أهمها وأكثرها شيوعاً في الدراسات المعاصرة هو اختبار ديكى - فولر.

ويمكن توضيح اختبار ديكى فولر من خلال المعادلة التالية:

$$(1) \Delta Y_T = \beta_1 + \delta y_{T-1} + U_t$$

الفرق الأول للسلسة الزمنية (ΔY_T), ويتم اختبار فرض عدم (Hypothesis Null) بأن المعلمة ($\delta = 0$)، أي بوجود جذر الوحدة في السلسلة بمعنى أنها غير ساكنة، وإذا كانت (δ) معنوية وأقل من الصفر ($\delta < 0$) فإننا نقبل الفرض البديل بعدم وجود جذر الوحدة (Unit Root)، وإذا كان الحد الخطأ (U_t) في النموذج أعلى يعني من الارتباط الذاتي (autocorrelation)، فيمكن ان يصحح بإضافة عدد مناسب من حدود الفرق المبطة، وتصبح معادلة اختبار جذر الوحدة كالتالي:

$$(2) \alpha \sum n_i = \Delta y_{T-1} + U_t$$

وهذا النموذج يوصف باختبار ديكى فولر الموسع (Augmented Dickey -Fuller Test)، حيث تصبح (UT) غير مترابطة ذاتياً وتميز بخواص غير مرغوبة. ويتم اختبار الفرض عدم ($\delta = 0$) أو بوجود جذر الوحدة من خلال مقارنة الإحصائية (T) المقدرة للمعلمة (δ) مع القيم الجدولية ل (Dickey - Fuller) المطورة، فإذا كانت القيمة المطلقة لإحصائية (T) المقدرة تتجاوز القيمة المطلقة ل (df) فإنها تكون معنوية إحصائية، وعليه نرفض الفرض العدمي بوجود جذر الوحدة، أي أن السلسلة الزمنية الساكنة، وإذا كانت أقل من القيمة الجدولية فإنه لا يمكن رفض فرض جذر الوحدة أي أن السلسلة غير ساكنة، وبالتالي تقوم باختبار سكون الفرق الأول للسلسلة إذا كانت السلسلة لا تحتوي إيجاباً عاماً وإلا طرحنا منها الاتجاه العام لاختبارها، وإذا كانت غير ساكنة نكرر

(1) بعض مؤشرات قياس أداء التنمية الاقتصادية في مصر خلال الفترة (2000-2023)

معدل البطالة %	معدل التضخم %	نسبة العجز الكلي إلى الناتج المحلي الإجمالي %	نصيب الفرد من الناتج المحلي الإجمالي %	معدل النمو الحقيقي %	السنة
٨.٩٨٠	٢.٦٨٠	٩.٠٠٠	٢.٤٥٨	٦.٣٧٠	٢٠٠٠
٩.٢٦٠	٢.٢٦٩	١١.٣٠٠	٢.٤٩٢	٣.٥٣٣	٢٠٠١
١٠.٠١٠	٢.٧٣٧	١١.٣٠٠	٢.٤٩٨	٢.٣٩٠	٢٠٠٢
١٠.٩١٠	٤.٥٠٧	١٠.٤٠٠	٢.٥٢٤	٣.١٩٣	٢٠٠٣
١٠.٣٢٠	١١.٢٧٠	٩.٥٠٠	٢.٥٧٤	٤.٠٩٢	٢٠٠٤
١١.٠٤٩	٤.٨٦٩	٩.٦٠٠	٢.٦٣٥	٤.٤٧١	٢٠٠٥
١٠.٤٩٠	٧.٦٤٤	٨.٢٠٠	٢.٧٦١	٦.٨٤٣	٢٠٠٦
٨.٨٠٠	٩.٣١٨	٧.٣٠٠	٢.٩٠٢	٧.٠٨٧	٢٠٠٧
٨.٥١٧	١٨.٣١٦	٦.٨٠٠	٣.٠٥٢	٧.١٥٦	٢٠٠٨
٩.٠٨٧	١١.٧٦٣	٦.٩٠٠	٣.١٣٥	٤.٦٧٣	٢٠٠٩
٨.٧٥٦	١١.٢٦٥	٨.١٠٠	٣.٢٢٣	٥.١٤٧	٢٠١٠
١١.٨٤٩	١٠.٠٦٤	٩.٨٠٠	٣.٢٢٢	١.٧٦٤	٢٠١١
١٢.٥٩٧	٧.١١١	١٠.١٠٠	٣.٢٢٠	٢.٢٢٦	٢٠١٢
١٣.١٥٤	٩.٤٦٩	١٢.٩٠٠	٣.٢١٦	٢.١٨٥	٢٠١٣
١٣.١٠٥	١٠.٠٧٠	١٢.٠٠٠	٣.٢٢٥	٢.٩١٥	٢٠١٤
١٣.٠٥٢	١٠.٣٧٠	١١.٤٠٠	٣.٣٠٦	٤.٣٧٢	٢٠١٥
١٢.٤٥٠	١٣.٨١٣	١٢.٥٠٠	٣.٣٨١	٤.٣٤٦	٢٠١٦
١١.٧٦٧	٢٩.٥٠٦	١٠.٩٠٠	٣.٤٥٢	٤.١٨١	٢٠١٧
٩.٨٥٥	١٤.٤٠١	٩.٧٠٠	٣.٥٦٨	٥.٣٣١	٢٠١٨
٧.٨٥١	٩.١٥٢	٧.٥٠٠	٣.٧٠١	٥.٥٥٢	٢٠١٩
٧.٩٧٤	٥.٠٤٤	٧.٤٠٠	٣.٧٧٠	٣.٥٥٠	٢٠٢٠
٧.٤٤١	٥.٢١٤	٦.٨٠٠	٣.٨٣٧	٣.٢٩٠	٢٠٢١
٧.٣٤٤	١٣.٨٩٥	٦.١٠٠	٤.٠٠٩	٦.٥٨٧	٢٠٢٢
٧.٣٤٤	٣٣.٨٨٤	٦.٠٤٠	٤.١١١	٣.٧٥٨	٢٠٢٣
١٠.٠٨٢	١٠.٧٧٦	٩.٢٣١	٣.١٨٠	٤.٣٧٦	المتوسط

المصدر: إحصاءات البنك الدولي.

* وزارة المالية، التقرير المالي الشهري، نهاية يونيو من السنة، سنوات مختلفة. نصيب الفرد من الناتج المحلي الإجمالي (بألف دولار).

1- يوضح

Tentative Identification

1- اختبار جذر الوحدة (unit Root Test)

الزمنية للمتغير $H_0: \theta = 0$ أما فرضية البديل فتعتمد على عدم وجود جذر الوحدة أي استقرار السلسلة الزمنية للمتغير $H_1: \theta \neq 0$ ، ويتبع من خلال أقل من قيمة (t) الجدولية عند مستوى معنوية (10%, 5%, 1%).

جدول (2) نتائج اختبار جذر الوحدة للحكم على مدى سكون أو استقرار البيانات حيث تم استخدام اختبار Augmented Dickey Fuller Test حيث تمثل فرضية عدم على وجود جذر الوحدة أي عدم استقرار السلسلة جدول (2) أن متغيرات السلاسل الزمنية لمتغيرات الدراسة غير ساكنة بالمستوى (صفر) حيث كانت قيمة (t) المحسوبة

(2) نتائج اختبار جذر الوحدة باستخدام Augmented Dickey Fuller Test لمتغيرات السلسلة الزمنية (2000-2023)

رتبة المتغير (d)	المتغير في الفرق الثاني (Second difference)		المتغير في الفرق الأول (first difference)		المتغير عند المستوى (level)		لوغاریتم المتغير
	Constant & trend	Constant	Constant & trend	Constant	Constant & trend	Constant	
1			4.940- **(0.003)	5.181- **(0.000)	2.765- (0.222)	2.825- (0.070)	معدل النمو الحقيقي
2	4.916- **(0.004)	5.100- **(0.000)	2.329- (0.402)	2.408- (0.150)	3.577- (0.058)	0.449- (0.883)	نصيب الفرد من الناتج المحلي الإجمالي
1			3.610- *(0.052)	3.787- **(0.009)	2.708- (0.243)	2.802- (0.075)	نسبة العجز الكلي إلى الناتج المحلي الإجمالي
1			3.964- *(0.026)	3.477- *(0.020)	3.669- *(0.047)	2.858- (0.067)	معدل التضخم
1			3.592- *(0.050)	3.541- *(0.019)	1.150- (0.897)	0.889- (0.773)	معدل البطالة

المصدر: جدول (1) حسبت بواسطة الباحثة باستخدام البرنامج الإحصائي Eviews13

* معنوي عند مستوى خطأ 1% ، * معنوي عند مستوى خطأ 5% ، القيمة بين الأقواس تعبّر عن قيمة (t) المحسوبة.

يتم تحديد رتب للنمذج (AR(p), MA(q)) على التوالي وهذا من خلال والتي الارتباط الذاتي والارتباط الذاتي الجزئي بعد استقرار السلسلة، ويمكن اقتراح أكثر من نموذج، ولمعرفة النموذج الملائم لتمثيل سلوك السلسلة يتم مقارنة بين هذه النماذج من خلال معيار Akaike(AIC) فالنموذج الأفضل هو الذي لديه أقل قيمة لهذا المعيار، وبما إن برنامج EViews) في إصداره الثالث عشر يقوم بالاختبار الآلي لمتغيرات بين العديد من النماذج، حيث تم الاعتماد على نتائج هذا الاختبار.

- دالة الارتباط الذاتي والارتباط الذاتي الجزئي لمتغير معدل النمو الحقيقي ، ونلاحظ من خلال

وباستخدام اختبار جذر الوحدة (Root Test) تمأخذ الفرق الأول لجميع المتغيرات فأصبحت معظمها ساكنة عند المستوى الأول وأصبحت (t) المحسوبة أكبر من قيمة (t) الجدولية عند مستوى معنوية (1%, 5%, 10%) أي أصبحت معظم المتغيرات ساكنة من الدرجة (1) وتضم هذه المتغيرات كلاً من معدل النمو الحقيقي، ونسبة العجز الكلي إلى الناتج المحلي الإجمالي، ومعدل التضخم، ومعدل البطالة. ماعدا متغيراً واحداً حدث له سكون من الدرجة (2) وهو نصيب الفرد من الناتج المحلي الإجمالي.

2/1- تحديد رتبة مكون الانحدار الذاتي p ورتبة المتوسط المتحركq.

جدول (3) أن البرنامج قد اختار نموذج اريما (1,1,2) من بين 36

نموذجًا، حيث أخذ هذا الأخير أقل قيمة لمعيار Akaike وهي (0.835).

جدول (3) اختيار النموذج المناسب للتتنبؤ بمعدل النمو الحقيقي

Automatic ARIMA Forecasting

Selected dependent variable: D(LEG)

Date: 11/11/24 Time: 07:28

Sample: 2001 2023

Included observations: 23

Forecast length: 0

Model maximums: (5,5)1(0,0)

Regressors: C

Number of estimated ARMA models: 36

Number of non-converged estimations: 0

Selected ARMA model: (2,1) (0,0)

AIC value: 0.8359910589

المصدر: إعداد الباحثة بالاعتماد على برنامج (eviews,v.13)

نلاحظ من خلال

بـ دالة الارتباط الذاتي والارتباط الذاتي الجزئي لمتغير نصيب الفرد من الناتج المحلي الإجمالي .

جدول (4) أن البرنامج قد اختار نموذج اريما (1,1,2) من بين 72

نموذجًا، حيث أخذ هذا الأخير أقل قيمة لمعيار Akaike وهي (-

.6.148).

جدول (4) اختيار النموذج المناسب للتتنبؤ بنصيب الفرد من الناتج المحلي الإجمالي

Automatic ARIMA Forecasting

Selected dependent variable: D(LGDP pc,2)

Date: 11/20/24 Time: 01:50

Sample: 2002 2023

Included observations: 22

Forecast length: 0

Model maximums: (11,2)2(0,0)

Regressors: C

Number of estimated ARMA models: 72

Number of non-converged estimations: 0

Selected ARMA model: (11,2) (0,0)

AIC value: -6.14878450183

المصدر: إعداد الباحثة بالاعتماد على برنامج (eviews,v.13).

ج- دالة الارتباط الذاتي والارتباط الذاتي الجزئي لمتغير نسبة العجز الكلي إلى الناتج المحلي الإجمالي.

نلاحظ من خلال جدول (5) أن البرنامج قد اختار نموذج اريما (1,1,2) من بين 49 نموذجاً، حيث أخذ هذا الأخير أقل قيمة لمعيار Akaike وهي (3.065)-.

جدول (5) اختيار النموذج المناسب للتتبُّق بنسبة العجز الكلي إلى الناتج المحلي الإجمالي

Automatic ARIMA Forecasting

Selected dependent variable: D(Ldef)

Date: 11/22/24 Time: 07:06

Sample: 2001 2023

Included observations: 23

Forecast length: 0

Model maximums: (6,6)1(0,0)

Regressors: C

Number of estimated ARMA models: 49

Number of non-converged estimations: 0

Selected ARMA model: (2,1) (0,0)

AIC value: -3.06513969775

المصدر: إعداد الباحثة بالاعتماد على برنامج (eviews,v.13).

د- دالة الارتباط الذاتي والارتباط الذاتي الجزئي لمتغير معدل التضخم
نلاحظ من خلال

جدول (6) أن البرنامج قد اختار نموذج اريما (2,1,0) من بين 16
نموذجًا، حيث أخذ هذا الأخير أقل قيمة لمعيار Akaike وهي (0.252).

جدول (6) اختيار النموذج المناسب للتتبُّق بمعدل التضخم

Automatic ARIMA Forecasting

Selected dependent variable: D(LINF)

Date: 11/23/24 Time: 02:28

Sample: 2001 2023

Included observations: 23

Forecast length: 0

Model maximums: (3,3)1(0,0)

Regressors: C

Number of estimated ARMA models: 16

Number of non-converged estimations: 0

Selected ARMA model: (0,2) (0,0)

AIC value: 0.252251189255

المصدر: إعداد الباحثة بالاعتماد على برنامج (eviews,v.13).

نلاحظ من خلال جدول (7) أن البرنامج قد اختار نموذج اريما (1,1,2) من بين 40 نموذجاً،

هـ دالة الارتباط الذاتي والارتباط الذاتي الجزئي لمتغير معدل البطالة

.(3.285-)

حيث أخذ هذا الأخير أقل قيمة لمعيار Akaike وهي

جدول (7) اختبار النموذج المناسب للتباين بمعدل البطالة

Automatic ARIMA Forecasting	
Selected dependent variable: D(LUEMP)	
Date: 11/23/24 Time: 04:15	
Sample: 2001 2023	
Included observations: 23	
Forecast length: 0	
Model maximums: (4,7)1(0,0)	
Regressors: C	
Number of estimated ARMA models: 40	
Number of non-converged estimations: 0	
Selected ARMA model: (2,1) (0,0)	
AIC value: -3.28515453989	

نتائج

توضيح

الدرجة الثانية (2) AR(2) نحو 0.606، وقد ثبتت معنوته عند مستوى MA(1) ٠٠٥، أما فيما يتعلق بتأثير الصدمات (الأخطاء العشوائية) على معدل النمو الحقيقي فإنه لم تثبت معنوية تأثير الصدمات للعام السابق على معدل النمو الحقيقي في العام الحالي، وتشير قيمة معامل التحديد المعدل (R^2) إلى أن النموذج قادر على تفسير نحو ٣٦٪ من التباين في معدل النمو الحقيقي، كما بلغت قيمة اختبار F الإحصائي نحو ٤٠٩، وهي معنوية عند مستوى ٠٠٥، مما يدل على صلاحية النموذج ككل في تفسير التغيرات في معدل النمو الحقيقي.

المصدر: إعداد الباحثة بالاعتماد على برنامج (eviews,v.13).

2- مرحلة تقييم المعالم للنموذج Estimation

أ-تقدير نموذج اريما (1,1,2) لمتغير معدل النمو الحقيقي:-

جدول (8) وجود علاقة طردية ذات دلالة إحصائية بين معدل النمو الحقيقي في العام السابق ومعدل النمو الحقيقي في العام الحالي، حيث بلغت قيمة معامل الانحدار للمتغير الذاتي من الدرجة الأولى AR(1) نحو ١.٣٤٣ ، وقد ثبتت معنويته عند مستوى ١٠٠١ ، مما يشير أن كل زيادة في معدل النمو الحقيقي في العام السابق قدرها 1% تؤدي إلى زيادة معدل النمو الحقيقي في العام الحالي بنسبة قدرها 1.343%، كما أظهرت النتائج وجود علاقة طردية ذات دلالة إحصائية بين معدل النمو الحقيقي في العام الذي يسبق العام السابق مباشرة ومعدل النمو الحقيقي في العام الحالي، حيث بلغت قيمة معامل الانحدار للمتغير الذاتي من

جدول (8) نتائج تقييم نموذج اريما (1,1,2) لمتغير معدل النمو الحقيقي

المعنوية	T-Statistic	قيمة المعلمات	المتغير
0.000	39.238	1.395	الثابت (C)
0.000	4.388	1.343	AR(1)
0.017	2.602-	0.606	AR(2)
0.999	0.000-	0.999-	MA(1)
0.997	0.003	0.079	SIGMASQ
---	---	0.358	Adj R ²
0.014	---	4.109	F-Statistic
---	---	0.835	AIC

المصدر: إعداد الباحثة بالاعتماد على برنامج (eviews,v.13).

ب- تقدير نموذج اريما (2,2,11) لمتغير نصيب الفرد من الناتج المحلي الإجمالي:

نتائج

توضيح

جدول (9) وجود علاقة طردية ذات دلالة إحصائية بين نصيب الفرد من الناتج المحلي الإجمالي في العام السابق ونصيب الفرد من الناتج المحلي الإجمالي في العام الحالي، حيث بلغت قيمة معامل الانحدار للمتغير

، أما فيما يتعلق بتأثير الصدمات (الأخطاء العشوائية) (1) MA و (2) MA على نصيب الفرد من الناتج المحلي الإجمالي فإنه لم تثبت معنوية تأثير الصدمات للعام السابق والعام الذي يسبق العام السابق مباشرة على نصيب الفرد من الناتج المحلي الإجمالي في العام الحالي، وتشير قيمة معامل التحديد المعدل (Adjusted R²) إلى أن النموذج قادر على تفسير نحو 87% من التباين في نصيب الفرد من الناتج المحلي الإجمالي، كما بلغت قيمة اختبار F الإحصائي نحو 11.649، وهي معنوية عند مستوى 0.001، مما يدل على صلاحية النموذج ككل في تفسير التغيرات في نصيب الفرد من الناتج المحلي.

الذاتي من الدرجة الأولى (AR(1) نحو 0.554، وقد ثبتت معنويته عند مستوى 1.000، مما يشير أن كل زيادة في نصيب الفرد من الناتج المحلي الإجمالي في العام السابق قدرها 1% تؤدي إلى زيادة نصيب الفرد من الناتج المحلي الإجمالي في العام الحالي بنسبة قدرها 0.5%， كما أظهرت النتائج وجود علاقة طردية ذات دلالة إحصائية بين نصيب الفرد من الناتج المحلي الإجمالي في العام الذي يسبق العام السابق مباشرة ونصيب الفرد من الناتج المحلي الإجمالي في العام الحالي، حيث بلغت قيمة معامل الانحدار للمتغير الذاتي من الدرجة الثانية (AR(2) نحو 0.353 ، وقد ثبتت معنويته عند مستوى 0.001 ، وأيضاً قد ثبتت معنوية المتغيرات الذاتية من الدرجات (AR(3) حتى AR(11) عند مستوى

جدول (9) نتائج تقييم نموذج اريما (11,2,2) لمتغير نصيب الفرد من الناتج المحلي الإجمالي

المعنوية	T-Statistic	قيمة المعلمات	المتغير
0.000	7.548	0.018	(C) الثابت
0.000	13.747	0.554	AR(1)
0.000	6.922	0.353	AR(2)
0.000	5.880	0.265	AR(3)
0.003	3.607-	0.113-	AR(4)
0.000	15.947-	0.804-	AR(5)
0.000	23.385-	0.786-	AR(6)
0.000	4.508-	0.069-	AR(7)
0.001	3.644	0.200	AR(8)
0.000	75.974	0.283	AR(9)
0.000	5.205-	0.399-	AR(10)
0.000	35.096-	0.862-	AR(11)
0.832	0.2019	0.705	MA(1)
0.963	0.048	0.189	MA(2)
0.814	0.243	0.0003	SIGMASQ
----	----	0.874	Adj R ²
0.000	---	11.649	F-Statistic
---	---	6.148-	AIC

المصدر: إعداد الباحثة بالاعتماد على برنامج (eviews,v.13).

ج- تقييم نموذج اريما (11,2,2) لمتغير نسبة العجز الكلي إلى الناتج المحلي الإجمالي

عكسية ذات دلالة إحصائية بين نسبة العجز الكلي إلى الناتج المحلي الإجمالي في العام الذي يسبق العام السابق مباشرة ونسبة العجز الكلي إلى الناتج المحلي الإجمالي في العام الحالي، حيث بلغت قيمة معامل الانحدار للمتغير الذاتي من الدرجة الثانية (AR(2) نحو -0.938، وقد ثبتت معنويته عند مستوى 0.001 ، أما فيما يتعلق بتأثير الصدمات (الأخطاء العشوائية) (1) MA على نسبة العجز الكلي إلى الناتج المحلي الإجمالي فإنه لم تثبت معنوية تأثير الصدمات للعام السابق على نسبة العجز الكلي إلى الناتج المحلي الإجمالي في العام الحالي، وتشير قيمة معامل التحديد المعدل (Adjusted R²) إلى أن النموذج قادر على تفسير نحو 85% من التباين في نسبة العجز الكلي إلى الناتج المحلي

توضح نتائج جدول (10) وجود علاقة طردية ذات دلالة إحصائية بين نسبة العجز الكلي إلى الناتج المحلي الإجمالي في العام السابق ونسبة العجز الكلي إلى الناتج المحلي الإجمالي في العام الحالي، حيث بلغت قيمة معامل الانحدار للمتغير الذاتي من الدرجة الأولى (AR(1) نحو 1.746 ، وقد ثبتت معنويته عند مستوى 0.001 ، مما يشير أن كل زيادة في نسبة العجز الكلي إلى الناتج المحلي الإجمالي في العام السابق قدرها 1% تؤدي إلى زيادة نسبة العجز الكلي إلى الناتج المحلي الإجمالي في العام الحالي بنسبة قدرها 1.746%， كما أظهرت النتائج وجود علاقة

ما يؤدي إلى استمراريه، بينما إشارة AR(2) سالبة، يعني ذلك وجود تأثير تصحيحي عكسي بعد فترتين. معنى إذا زاد العجز في الفترة (t-2)، فسيكون هناك اتجاه لانخفاضه في الفترة الحالية (t)، والعكس صحيح، هذا قد يعكس إجراءات تصحيحية متأخرة، مثل إجراءات نقشيفية أو زيادة الصرائب بعد فترة من ارتفاع العجز، مما يؤدي إلى تصحيح جزئي، ويشير هذا إلى دورات مالية غير متناسقة، حيث يكون رد فعل السياسات المالية بطبيعة أو غير كافية في المدى القصير، لكنه يظهر تأثيراً لاحقاً.

الإجمالي، كما بلغت قيمة اختبار F الإحصائي نحو 32.781، وهي معنوية عند مستوى 0.000، مما يدل على صلاحية النموذج ككل في تفسير التغيرات في نسبة العجز الكلي إلى الناتج المحلي الإجمالي. التفسير الاقتصادي للإشارة الموجبة والسلبية: إشارة AR(1) موجبة، معنى إذا زاد العجز في الفترة السابقة (t-1)، فمن المرجح أن يزداد في الفترة الحالية (t) أيضاً، والعكس صحيح. هذا قد يعكس قصوراً في التصحيح المالي، حيث لا توجد سياسات فاعلة لخفض العجز بسرعة،

جدول (10) نتائج تقدير نموذج اريما (1,1,2) لمتغير نسبة العجز الكلي إلى الناتج المحلي الإجمالي

المعنوية	T-Statistic	قيمة المعلمات	المتغير
0.000	76.320	0.787	(C) الثابت
0.000	20.438	1.746	AR(1)
0.000	13.793-	0.938-	AR(2)
0.999	6.690-	0.999-	MA(1)
0.999	0.000	0.001	SIGMASQ
---	---	0.852	Adj R ²
0.000	---	32.781	F-Statistic
---	---	3.065-	AIC

المصدر: إعداد الباحثة بالاعتماد على برنامج (eviews,v.13).

نتائج توضح MA(2) تؤثر على على معدل التضخم في العام الحالي بنسبة 0.676 %، وقد ثبتت معنوية هذا التأثير عند مستوى 0.05 مع تقلبات في معدل التضخم تقدر بانحراف معياري قدره 0.223، وتشير قيمة معامل التحديد المعدل (R^2) إلى أن النموذج قادر على تفسير نحو 56% من التغيرات في معدل التضخم، كما بلغت قيمة اختبار F الإحصائي نحو 10.768، وهي معنوية عند مستوى 0.01، مما يدل على صلاحية النموذج ككل في تفسير التغيرات في معدل التضخم.

د- تقدير نموذج اريما (0,1,2) لمتغير معدل التضخم جدول (11) وجود علاقة طردية ذات دلالة إحصائية بين صدمات معدل التضخم في العام السابق ومعدل التضخم في العام الحالي، حيث أن صدمات معدل التضخم في العام السابق والمماثلة في المتغير MA(1) تؤثر على معدل التضخم في العام الحالي بنسبة 1.015%， وقد ثبتت معنوية هذا التأثير عند مستوى 0.01، كما أظهرت النتائج استمرار ذات الصدمات حتى عامين سابقين، حيث اتضح وجود علاقة طردية ذات دلالة إحصائية بين صدمات معدل التضخم في العام الذي يسبق العام السابق مباشرة ومعدل التضخم في العام الحالي حيث أن صدمات معدل التضخم في العام الذي يسبق العام السابق مباشرة والمماثلة في المتغير

جدول (11) نتائج تقدير نموذج اريما (0,1,2) معدل التضخم

المعنوية	T-Statistic	قيمة المعلمات	المتغير
0.000	4.572	0.709	(C) الثابت
0.000	4.264	1.015	MA(1)
0.050	2.051	0.676	MA(2)
0.013	2.708	0.050	SIGMASQ
---	---	0.563	Adj R ²
0.000	---	10.786	F-Statistic

---	---	0.252	AIC
<p>المصدر: إعداد الباحثة بالاعتماد على برنامج (eviews,v.13).</p> <p>هـ- تقدیر نموذج اریما (1,1,2) لمتغير معدل البطالة توضح نتائج جدول (12) وجود علاقة طردية ذات دلالة إحصائية بين معدل البطالة في العام السابق ومعدل البطالة في العام الحالي، حيث بلغت قيمة معامل الانحدار لمتغير الذاتي من الدرجة الأولى AR(1) نحو 1.762 ، وقد ثبتت معنويته عند مستوى 1%، مما يشير أن كل زيادة في معدل البطالة في العام السابق قدرها 1% تؤدي إلى زيادة معدل البطالة في العام الحالي بنسبة قدرها 1.762 %، كما أظهرت النتائج وجود علاقة طردية ذات دلالة إحصائية بين معدل البطالة في العام الذي يسبق العام السابق مباشرة ومعدل البطالة في العام الحالي، حيث بلغت</p>			

جدول (12) نتائج تقدیر نموذج اریما (1,1,2) معدل البطالة

المعنوية	T-Statistic	قيمة المعلمات	المتغير
0.000	82.813	0.837	الثابت (C)
0.000	12.428	1.762	AR(1)
0.000	7.336-	0.913	AR(2)
0.999	0.000-	0.999-	MA(1)
0.998	0.002	0.001	SIGMASQ
---	---	0.801	Adj R ²
0.000	---	23.432	F-Statistic
---	---	3.285-	AIC

المصدر: إعداد الباحثة بالاعتماد على برنامج (eviews,v.13).

3- مرحلة الفحص التشخيصي Diagnostic Checking

للتحقق من سلامة التقديرات وإمكانية استخدام النموذج في التنبؤ تم استخدام عدة اختبارات لفحص جودة النموذج وذلك على النحو التالي:

أولاً: الاختبارات المتعلقة بحد الخطأ العشوائي Diagnostic

.Residuals

هناك عدد من الاختبارات المتعلقة بحد الخطأ العشوائي ومنها اختبار اختلاف تباين حد الخطأ (Heteroskedasticity)، واختبار مدى اتباع حد الخطأ العشوائي للتوزيع الطبيعي، وقد جاءت نتائج الاختبارات على النحو التالي:

1- اختبار اختلاف تباين حد الخطأ (Heteroskedasticity test)

أ- اختبار اختلاف تباين حد الخطأ لمتغير معدل النمو الحقيقي

اختبار تشير نتائج اختلاف تباين حد الخطأ حيث إن قيمة Chi-Square (Chi-Square) تساوي (0.683) فإن هذا يعني قبول فرض عدم وهو ما يعني عدم وجود مشكلة اختلاف تباين حد الخطأ العشوائي.

جدول (13) إلى عدم وجود مشكلة اختلاف تباين حد الخطأ العشوائي حيث إنه يتم مقارنة (P-value) الخاصة بالاختبار ب (0.05) فإذا كانت أكبر من (0.05) تقبل فرض عدم وهي أنه لا يوجد مشكلة

جدول (13) نتائج اختبار اختلاف تباين حد الخطأ لمتغير معدل النمو الحقيقي

Heteroskedasticity Test: ARCH

F-statistic 0.153284	Prob. F (1,21) 0.6994
Obs*R-squared 0.166666	Prob. Chi-Square (1) 0.6831

المصدر: إعداد الباحثة بالاعتماد على برنامج (eviews,v.13).

ب (0.05) فإذا كانت أكبر من (0.05) تقبل فرض العدم وهي أنه لا يوجد مشكلة اختلاف تباين حد الخطأ وحيث إن قيمة (Chi-Square) تساوي (0.441) فإن هذا يعني قبول فرض العدم وهو ما يعني عدم وجود مشكلة اختلاف تباين حد الخطأ العشوائي.

ب- اختبار اختلاف تباين حد الخطأ لمتغير نصيب الفرد من الناتج المحلي الإجمالي.

تشير نتائج اختبار جدول (14) إلى عدم وجود مشكلة اختلاف تباين حد الخطأ العشوائي حيث إنه يتم مقارنة (P-value) الخاصة بالاختبار

جدول (14) نتائج اختبار اختلاف تباين حد الخطأ لمتغير نصيب الفرد من الناتج المحلي الإجمالي
Heteroskedasticity Test: ARCH

F-statistic	0.553175	Prob. F(1,20)	0.4657
Obs*R-squared	0.592116	Prob. Chi-Square(1)	0.4416

المصدر: إعداد الباحثة بالاعتماد على برنامج (eviews,v.13).

ج- اختبار اختلاف تباين حد الخطأ لمتغير نسبة العجز الكلي إلى الناتج المحلي الإجمالي:

اختلاف تباين حد الخطأ وحيث إن قيمة (Chi-Square) تساوي (0.058) فإن هذا يعني قبول فرض العدم وهو ما يعني عدم وجود مشكلة اختلاف تباين حد الخطأ العشوائي.

جدول (15) إلى عدم وجود مشكلة اختلاف تباين حد الخطأ العشوائي حيث إنه يتم مقارنة (P-value) الخاصة بالاختبار ب (0.05) فإذا كانت أكبر من (0.05) تقبل فرض العدم وهي أنه لا يوجد مشكلة

جدول (15) نتائج اختبار اختلاف تباين حد الخطأ لمتغير نسبة العجز الكلي إلى الناتج المحلي الإجمالي
Heteroskedasticity Test: ARCH

F-statistic	3.869905	Prob. F(1,21)	0.0625
Obs*R-squared	3.578936	Prob. Chi-Square(1)	0.0585

المصدر: إعداد الباحثة بالاعتماد على برنامج (eviews,v.13).

د- اختبار اختلاف تباين حد الخطأ لمتغير معدل التضخم
اختلاف تباين حد الخطأ وحيث إن قيمة (Chi-Square) تساوي (0.251) فإن هذا يعني قبول فرض العدم وهو ما يعني عدم وجود مشكلة اختلاف تباين حد الخطأ العشوائي.

جدول (16) إلى عدم وجود مشكلة اختلاف تباين حد الخطأ العشوائي حيث إنه يتم مقارنة (P-value) الخاصة بالاختبار ب (0.05) فإذا كانت أكبر من (0.05) تقبل فرض العدم وهي أنه لا يوجد مشكلة جدول (16) نتائج اختبار اختلاف تباين حد الخطأ لمتغير معدل التضخم

Heteroskedasticity Test: ARCH

F-statistic	1.275520	Prob. F(1,21)	0.2715
Obs*R-squared	1.317004	Prob. Chi-Square(1)	0.2511

المصدر: إعداد الباحثة بالاعتماد على برنامج (eviews,v.13).

ه- اختبار اختلاف تباين حد الخطأ لمتغير معدل البطالة
اختلاف تباين حد الخطأ وحيث إن قيمة (Chi-Square) تساوي (0.712) فإن هذا يعني قبول فرض العدم وهو ما يعني عدم وجود مشكلة اختلاف تباين حد الخطأ العشوائي.

جدول (17) إلى عدم وجود مشكلة اختلاف تباين حد الخطأ العشوائي حيث إنه يتم مقارنة (P-value) الخاصة بالاختبار ب (0.05) فإذا كانت أكبر من (0.05) تقبل فرض العدم وهي أنه لا يوجد مشكلة اختلاف تباين حد الخطأ وحيث إن قيمة (Chi-Square) تساوي (0.125) فإن هذا يعني قبول فرض العدم وهو ما يعني عدم وجود مشكلة اختلاف تباين حد الخطأ العشوائي.

Heteroskedasticity Test: ARCH

F-statistic	0.125019	Prob. F(1,21)	0.7272
Obs*R-squared	0.136115	Prob. Chi-Square(1)	0.7122

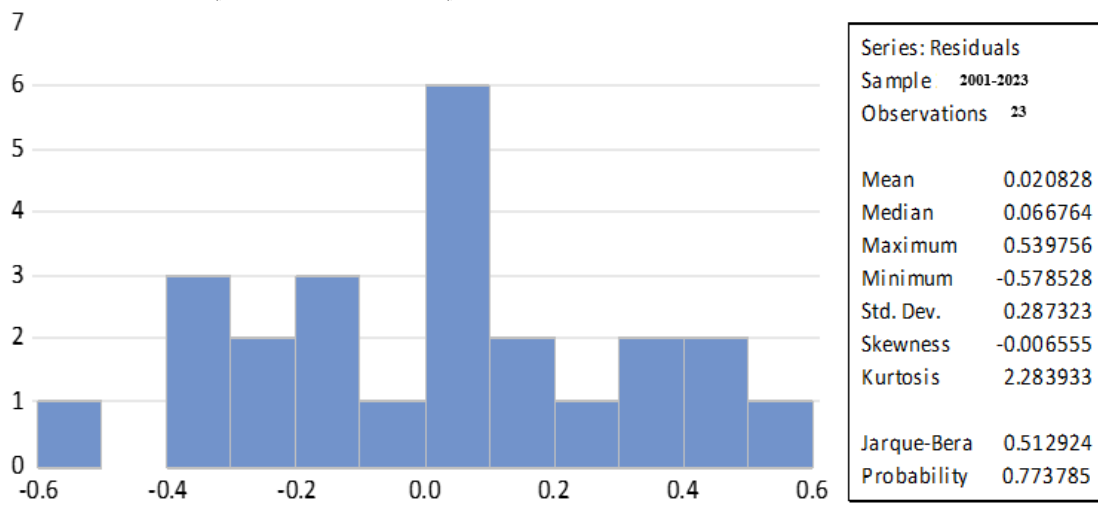
المصدر: إعداد الباحثة بالاعتماد على برنامج (eviews,v.13).

أ- اختبار Jarque Bera للتوزيع الطبيعي لمتغير معدل النمو الحقيقي بالنظر إلى قيمة (p-value) الخاصة بإحصائية (Jarque Bera) من خلال

2- مدى اتباع حد الخطأ العشوائي للتوزيع الطبيعي

شكل (2) نجدها تساوي (0.773) أي أكثر من (0.05)، وبالتالي قبول فرض العدم والذي ينص على أن حد الخطأ العشوائي يتبع التوزيع الطبيعي.

شكل (2) نتائج اختبار Jarque Bera للتوزيع الطبيعي لمتغير معدل النمو الحقيقي

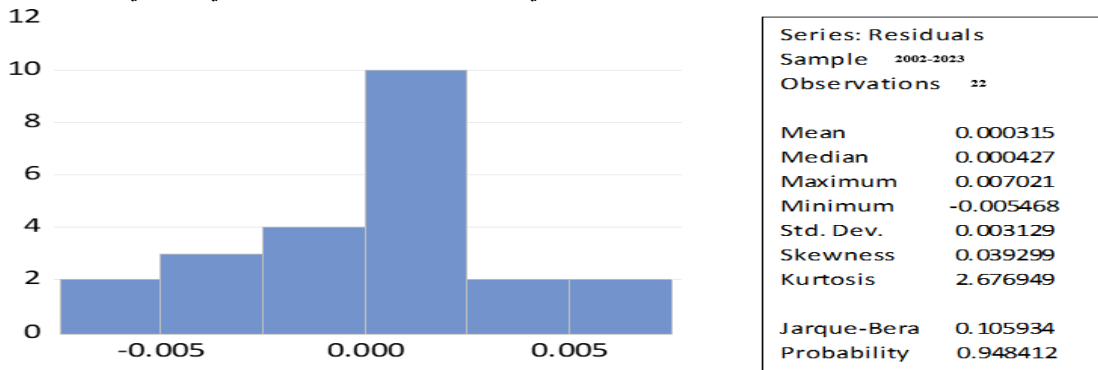


المصدر: إعداد الباحثة بالاعتماد على برنامج (eviews,v.13).

ب- اختبار Jarque Bera للتوزيع الطبيعي لمتغير نصيب الفرد من الناتج المحلي الإجمالي بالنظر إلى قيمة (p-value) الخاصة بإحصائية (Jarque Bera) من خلال

شكل (3) نجدها تساوي (0.948) أي أكثر من (0.05)، وبالتالي قبول فرض العدم والذي ينص على أن حد الخطأ العشوائي يتبع التوزيع الطبيعي.

شكل (3) نتائج اختبار Jarque Bera للتوزيع الطبيعي لمتغير نصيب الفرد من الناتج المحلي الإجمالي

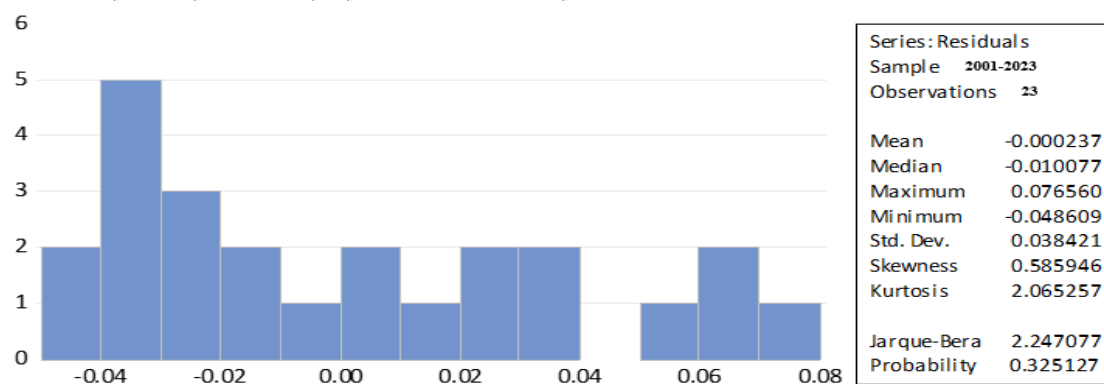


المصدر: إعداد الباحثة بالاعتماد على برنامج (eviews,v.13).

من خلال شكل (4) نجدها تساوي (0.325) أي أكثر من (0.05)، وبالتالي قبول فرض العدم والذي ينص على أن حد الخطأ العشوائي يتبع التوزيع الطبيعي.

ج- اختبار Jarque Bera للتوزيع الطبيعي لمتغير نسبة العجز الكلي إلى الناتج المحلي الإجمالي: بالنظر إلى قيمة (p-value) الخاصة بإحصائية (Jarque Bera)

شكل (4) نتائج اختبار Jarque Bera للتوزيع الطبيعي لمتغير نسبة العجز الكلي إلى الناتج المحلي الإجمالي

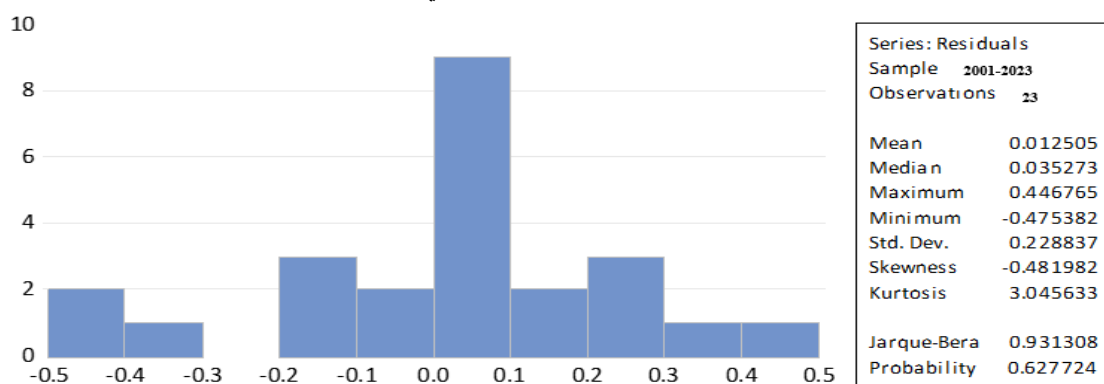


المصدر: إعداد الباحثة بالاعتماد على برنامج (eviews,v.13).

د- اختبار Jarque Bera للتوزيع الطبيعي لمتغير معدل التضخم بالنظر إلى قيمة (p-value) الخاصة بإحصائية (Jarque Bera) من

خلال شكل (5) نجدها تساوي (0.627) أي أكثر من (0.05)، وبالتالي قبول فرض عدم والذي ينص على أن حد الخطأ العشوائي يتبع التوزيع الطبيعي.

شكل (5) نتائج اختبار Jarque Bera للتوزيع الطبيعي لمتغير معدل التضخم



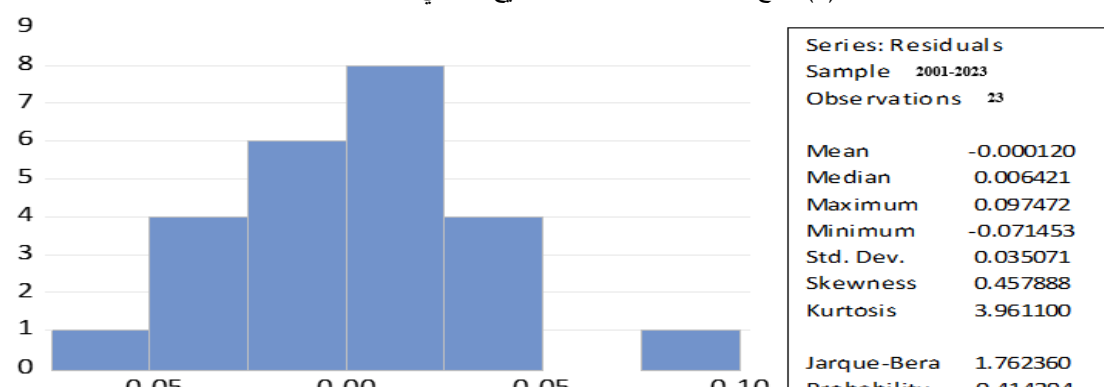
المصدر: إعداد الباحثة بالاعتماد على برنامج (eviews,v.13).

هـ- اختبار Jarque Bera للتوزيع الطبيعي لمتغير معدل البطالة

بالنظر إلى قيمة (p-value) الخاصة بإحصائية (Jarque Bera) من خلال

شكل (6) نجدها تساوي (0.414) أي أكثر من (0.05)، وبالتالي قبول فرض عدم والذي ينص على أن حد الخطأ العشوائي يتبع التوزيع الطبيعي.

شكل (6) نتائج اختبار Jarque Bera للتوزيع الطبيعي لمتغير معدل البطالة



المصدر: إعداد الباحثة بالاعتماد على برنامج (eviews,v.13).

ثانياً: الاختبارات المتعلقة باستقرار النموذج (Stability Test).

أ- استقرارية الباقي لمتغير معدل النمو الحقيقيوضح

1-استقرارية الباقي

ضوضاء أبيض (White Noise)، مما يدل على استقرارية الباقي وبالتالي يمكن الاعتماد عليه في عملية التنبؤ.

شكل (7) أن قيم دالتي الارتباط الذاتي والارتباط الذاتي الجزئي يقع ضمن حدود فترات الثقة، كما أن قيم (p-value) لإحصائية (Q-test) أكبر من (0.05)، مما يعني قبول فرض عدم وهو الباقي عبارة عن

شكل (7) نتائج اختبار دالة الارتباط الذاتي والارتباط الذاتي الجزئي لباقي النموذج المقدر لمتغير معدل النمو الحقيقي

Q-statistic probabilities adjusted for 3 ARMA terms

Autocorrelation	Partial Correlation	AC	PAC	Q-Stat	Prob
-	-	1	-0.123	-0.123	0.4121
-	-	2	0.074	0.059	0.5654
-	-	3	0.102	0.120	0.8742
-	-	4	0.015	0.038	0.8815 0.348
-	-	5	-0.242	-0.261	2.8086 0.246
-	-	6	-0.072	-0.166	2.9900 0.393
-	-	7	-0.060	-0.059	3.1227 0.538
-	-	8	-0.133	-0.072	3.8093 0.577
-	-	9	0.040	0.066	3.8744 0.694
-	-	10	0.139	0.149	4.7406 0.692
-	-	11	-0.312	-0.360	9.4155 0.308
-	-	12	0.232	0.079	12.208 0.202
-	-	13	-0.170	-0.227	13.851 0.180
-	-	14	0.000	0.015	13.851 0.241
-	-	15	0.052	0.184	14.040 0.298
-	-	16	0.028	-0.075	14.102 0.367
-	-	17	-0.138	-0.180	15.794 0.326
-	-	18	0.068	-0.069	16.268 0.364
-	-	19	0.105	-0.008	17.634 0.346
-	-	20	-0.127	0.020	20.168 0.266
-	-	21	-0.067	-0.036	21.099 0.274
-	-	22	0.148	-0.072	27.944 0.085
-	-	23	-0.057	0.113	29.988 0.070

أكبر من (0.05)، مما يعني قبول فرض عدم وهو الباقي

عبارة عن ضوضاء أبيض (White Noise)، مما يدل على استقرارية

الباقي وبالتالي يمكن الاعتماد عليه في عملية التنبؤ.

شكل (8) نتائج اختبار دالة الارتباط الذاتي والارتباط الذاتي الجزئي لباقي النموذج المقدر لمتغير نصيب الفرد من الناتج المحلي الإجمالي

المصدر: إعداد الباحثة بالاعتماد على برنامج (eviews,v.13).

ب- استقرارية الباقي لمتغير نصيب الفرد من الناتج المحلي الإجمالي

يوضح شكل (8) أن قيم دالتي الارتباط الذاتي والارتباط الذاتي الجزئي

يقعوا ضمن حدود فترات الثقة، كما أن قيم (p-value) لإحصائية

شكل (8) نتائج اختبار دالة الارتباط الذاتي والارتباط الذاتي الجزئي لباقي النموذج المقدر لمتغير نصيب الفرد من الناتج المحلي الإجمالي

Autocorrelation	Partial Correlation	AC	PAC	Q-Stat	Prob
		1 -0.1	0.162	0.6866	
		2 0.1	0.109	1.1648	
		3 -0.2	0.199	2.6635	
		4 0.026	-0.049	2.6835	0.612
		5 -0.251	-0.227	4.6921	0.455
		6 -0.154	-0.298	5.4987	0.482
		7 -0.072	-0.154	5.6834	0.577
		8 -0.088	-0.274	5.9801	0.649
		9 -0.020	-0.308	5.9962	0.740
		10 0.263	0.041	9.0456	0.528
		11 0.018	-0.207	9.0611	0.616
		12 0.222	-0.030	11.637	0.475
		13 -0.138	-0.225	12.728	0.469
		14 0.266	0.035	17.233	0.244
		15 -0.209	-0.088	20.366	0.158
		16 -0.089	-0.276	21.018	0.178
		17 -0.100	-0.084	21.973	0.186
		18 0.054	0.015	22.315	0.218
		19 -0.017	0.001	22.354	0.267
		20 0.020	0.065	22.427	0.318
		21 0.020	-0.014	22.545	0.369
		22 0.007	-0.036	22.571	0.426

المصدر: إعداد الباحثة بالاعتماد على برنامج (eviews,v.13).

ج- استقرارية الباقي لمتغير نسبة العجز الكلي إلى الناتج المحلي الإجمالي: يوضح

ضوضاء أبيض (White Noise)، مما يدل على استقرارية الباقي وبالتالي يمكن الاعتماد عليه في عملية التنبؤ.

شكل (9) أن قيم دالة الارتباط الذاتي والارتباط الذاتي الجزئي يقعا

ضمن حدود فترات الثقة، كما أن قيم (p-value) لاصحائية (Q-test) أكبر من (0.05)، مما يعني قبول فرض عدم وهو الباقي عبارة عن

شكل (9) نتائج اختبار دالة الارتباط الذاتي والارتباط الذاتي الجزئي لباقي النموذج المقترن لمتغير نسبة العجز الكلي إلى الناتج المحلي الإجمالي
Q-statistic probabilities adjusted for 3 ARMA terms

Autocorrelation	Partial Correlation	AC	PAC	Q-Stat	Prob
		1 -0.086	-0.086	0.2021	
		2 -0.023	-0.031	0.2169	
		3 0.048	0.044	0.2864	
		4 0.069	0.078	0.4363	0.509
		5 0.049	0.066	0.5160	0.773
		6 -0.203	-0.195	1.9432	0.584
		7 -0.128	-0.179	2.5484	0.636
		8 -0.087	-0.149	2.8457	0.724
		9 -0.152	-0.189	3.8097	0.702
		10 -0.073	-0.090	4.0452	0.775
		11 -0.067	-0.051	4.2591	0.833
		12 -0.017	-0.034	4.2744	0.892
		13 -0.122	-0.179	5.1183	0.883
		14 -0.109	-0.251	5.8583	0.883
		15 0.260	0.095	10.536	0.569
		16 0.101	0.073	11.334	0.583
		17 0.048	0.051	11.540	0.643
		18 -0.109	-0.191	12.774	0.620
		19 0.163	-0.037	16.080	0.447
		20 0.065	-0.137	16.744	0.472
		21 -0.057	-0.123	17.424	0.494
		22 -0.070	-0.119	18.956	0.460
		23 -0.000	-0.033	18.956	0.525

المصدر: إعداد الباحثة بالاعتماد على برنامج (eviews,v.13).

يوضح

د- استقرارية الباقي لمتغير معدل التضخم

ضوضاء أبيض (White Noise)، مما يدل على استقرارية الباقي وبالتالي يمكن الاعتماد عليه في عملية التنبؤ.

شكل (10) أن قيم دالة الارتباط الذاتي والارتباط الذاتي الجزئي يقع ضمن حدود فترات الثقة، كما أن قيم (p-value) لإحصائية (Q-test) أكبر من (0.05)، مما يعني قبول فرض عدم وهو الباقي عبارة عن

شكل (10) نتائج اختبار دالة الارتباط الذاتي والارتباط الذاتي الجزئي لباقي النموذج المقترن لمتغير معدل التضخم

Q-statistic probabilities adjusted for 2 ARMA terms

Autocorrelation	Partial Correlation	AC	PAC	Q-Stat	Prob
		1	0.003	0.003	0.0002
		2	-0.004	-0.004	0.0006
		3	0.000	0.000	0.0006
		4	-0.059	-0.059	0.1095
		5	0.105	0.105	0.4685
		6	-0.031	-0.033	0.5013
		7	0.054	0.056	0.6068
		8	-0.105	-0.112	1.0358
		9	0.065	0.085	1.2121
		10	0.035	0.014	1.2681
		11	-0.039	-0.023	1.3422
		12	-0.114	-0.146	2.0186
		13	0.078	0.128	2.3651
		14	-0.101	-0.145	3.0063
		15	0.001	0.033	3.0064
		16	-0.030	-0.084	3.0755
		17	-0.207	-0.146	6.8882
		18	0.093	0.061	7.7808
		19	0.073	0.117	8.4451
		20	0.058	-0.007	8.9728
		21	-0.119	-0.083	11.901
		22	-0.208	-0.223	25.409
		23	-0.048	-0.043	26.860
					0.176

المصدر: إعداد الباحثة بالاعتماد على برنامج (eviews,v.13).

هـ- استقرارية الباقي لمتغير معدل البطالة

ضوضاء أبيض (White Noise)، مما يدل على استقرارية الباقي وبالتالي يمكن الاعتماد عليه في عملية التنبؤ.

شكل (11) أن قيم دالة الارتباط الذاتي والارتباط الذاتي الجزئي يقع ضمن حدود فترات الثقة، كما أن قيم (p-value) لإحصائية (Q-test) أكبر من (0.05)، مما يعني قبول فرض عدم وهو الباقي عبارة عن

شكل (11) نتائج اختبار دالة الارتباط الذاتي والارتباط الذاتي الجزئي لباقي النموذج المقترن لمتغير معدل البطالة

Q-statistic probabilities adjusted for 3 ARMA terms

Autocorrelation	Partial Correlation	AC	PAC	Q-Stat	Prob
		1	-0.033	-0.033	0.0297
		2	0.078	0.077	0.2032
		3	0.125	0.131	0.6670
		4	-0.080	-0.079	0.8669
		5	-0.165	-0.197	1.7657
		6	0.063	0.050	1.9049
		7	-0.269	-0.224	4.5608
		8	-0.233	-0.248	6.6696
		9	0.076	0.065	6.9125
		10	-0.202	-0.143	8.7247
		11	-0.053	-0.070	8.8588
		12	0.016	-0.111	8.8727
		13	-0.034	-0.057	8.9376
		14	0.021	-0.019	8.9662
		15	0.157	-0.028	10.672
		16	-0.011	-0.041	10.682
		17	0.008	-0.094	10.687
		18	0.008	-0.160	10.694
		19	0.061	0.045	11.151
		20	-0.057	-0.116	11.655
		21	-0.007	-0.106	11.665
		22	0.006	-0.014	11.678
		23	0.023	0.015	12.020
					0.915

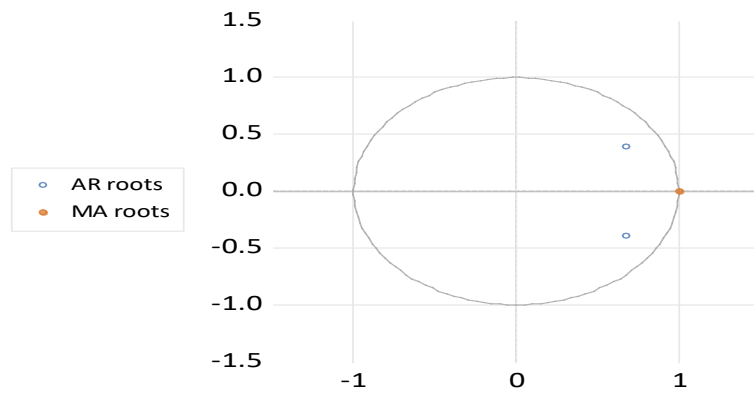
المصدر: إعداد الباحثة بالاعتماد على برنامج (eviews,v.13).

أ- جذور كل من (AR),(MA) ودائرة الوحدة لمتغير معدل النمو الحقيقي تتبع من

الوحدة، كما يتبيّن جدول (18) أنه لا توجد جذور تقع خارج دائرة الوحدة مما يدل على ثبات النموذج ككل وبالتالي يمكن الاعتماد عليه في عملية التنبؤ.

شكل (12) جذور كل من (AR),(MA) ودائرة الوحدة لمتغير معدل النمو الحقيقي

D(LEG): Inverse Roots of AR/MA Polynomial(s)



المصدر: إعداد الباحثة بالاعتماد على برنامج (eviews,v.13).

جدول (18) جذور كل من (MA),(AR) ودائرة الوحدة لمتغير معدل النمو الحقيقي

AR Root(s)	Modulus	Cycle
$0.671947 \pm 0.394295i$	0.779089	11.84048
No root lies outside the unit circle. ARMA model is stationary.		
MA Root(s)	Modulus	Cycle
0.999999	0.999999	
No root lies outside the unit circle.		

المصدر: إعداد الباحثة بالاعتماد على برنامج (eviews,v.13).

ب- جذور كل من (AR),(MA) ودائرة الوحدة لمتغير نصيب الفرد من الناتج المحلي الإجمالي يتبيّن من

من جدول (19) أنه لا توجد جذور تقع خارج دائرة الوحدة مما يدل على ثبات النموذج ككل وبالتالي يمكن الاعتماد عليه في عملية التنبؤ.

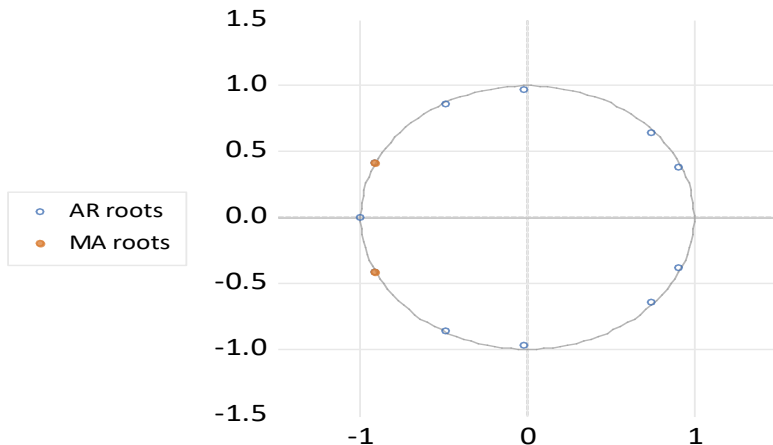
شكل (13) أن كلاً الجذور الخاصة ب (AR) يقعون داخل دائرة الوحدة، والجذرين الخاصين ب (MA) يقعان على حدود دائرة الوحدة، كما يتبيّن

شكل (13) جذور كل من (MA),(AR) ودائرة الوحدة لمتغير نصيب الفرد من الناتج المحلي الإجمالي

2- جذور كل من (AR),(MA) ودائرة الوحدة

شكل (12) أن كلاً من الجذرين الخاصين ب (AR) يقعان داخل دائرة الوحدة ، والجذر الخاص ب (MA) يقع على حدود دائرة

D(LGPD pc,2): Inverse Roots of AR/MA Polynomial(s)



المصدر: إعداد الباحثة بالاعتماد على برنامج (eviews,v.13).

جدول (19) جذور كل من (AR),(MA) ودائرة الوحدة لمتغير نصيب الفرد من الناتج المحلي الإجمالي

AR Root(s)	Modulus	Cycle
-0.911880 ± 0.410458i	1.000000	2.311153
-0.999057	0.999057	
-0.489908 ± 0.858435i	0.988393	3.007183
0.903320 ± 0.386862i	0.982675	15.52805
0.737611 ± 0.648731i	0.982304	8.710013
-0.016681 ± 0.973560i	0.973703	3.956844

No root lies outside the unit circle.
ARMA model is stationary.

MA Root(s)	Modulus	Cycle
-0.911500 ± 0.411301i	1.000000	2.311939

No root lies outside the unit circle.

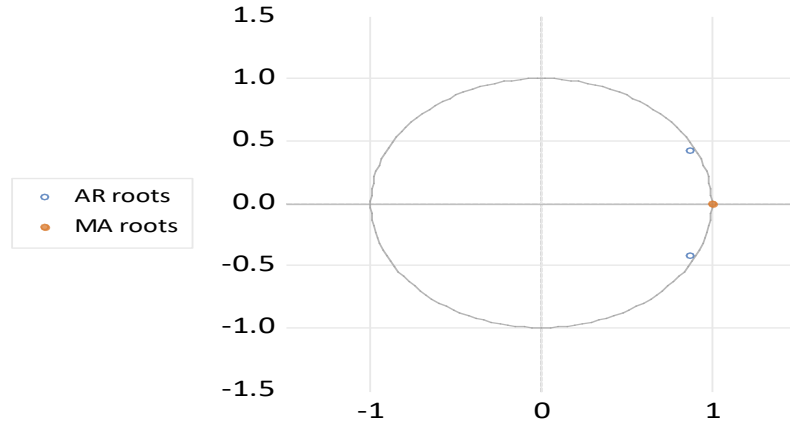
المصدر: إعداد الباحثة بالاعتماد على برنامج (eviews,v.13).

جـ جذور كل من (AR),(MA) ودائرة الوحدة لمتغير نسبة العجز الكلي
إلى الناتج المحلي الإجمالي: يتبين من

من جدول (20) أنه لا توجد جذور تقع خارج دائرة الوحدة مما يدل على
ثبات النموذج ككل وبالتالي يمكن الاعتماد عليه في عملية التنبؤ.

شكل (14) جذور كل من (AR),(MA) ودائرة الوحدة لمتغير نسبة العجز الكلي إلى الناتج المحلي الإجمالي

D(Ldef): Inverse Roots of AR/MA Polynomial(s)



المصدر: إعداد الباحثة بالاعتماد على برنامج (eviews,v.13).

جدول (20) جذور كل من (AR),(MA) ودائرة الوحدة لمتغير نسبة العجز الكلي إلى الناتج المحلي الإجمالي

AR Root(s)	Modulus	Cycle
$0.873156 \pm 0.419658i$	0.968769	14.02416
No root lies outside the unit circle. ARMA model is stationary.		
MA Root(s)	Modulus	Cycle
0.999989	0.999989	
No root lies outside the unit circle.		

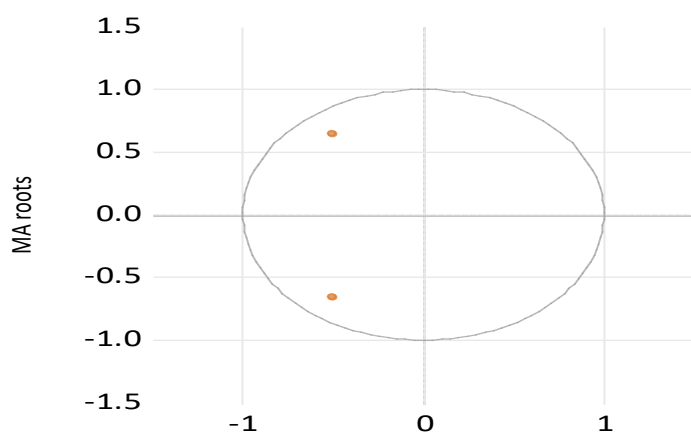
المصدر: إعداد الباحثة بالاعتماد على برنامج (eviews,v.13).

يتبيّن من شكل (15) أن كلاً من الجذرين الخاصين بـ (MA) يقعان داخل دائرة الوحدة، كما يتبيّن من جدول (21) أنه لا توجد جذور تقع خارج دائرة الوحدة مما يدل على ثبات النموذج ككل وبالتالي يمكن الاعتماد عليه في عملية التنبؤ.

د- جذور كل من (AR),(MA) ودائرة الوحدة لمتغير معدل التضخم

شكل (15) جذور كل من (MA),(AR) ودائرة الوحدة لمتغير معدل التضخم

D(LINF): Inverse Roots of AR/MA Polynomial(s)



المصدر: إعداد الباحثة بالاعتماد على برنامج (eviews,v.13).

جدول (21) جذور كل من (MA),(AR) ودائرة الوحدة لمتغير معدل التضخم

MA Root(s)	Modulus	Cycle
$-0.507513 \pm 0.647123i$	0.822397	2.810180

No root lies outside the unit circle.

المصدر: إعداد الباحثة بالاعتماد على برنامج (eviews,v.13).

يتبيّن من جدول (22) أنه لا توجد جذور تقع خارج دائرة الوحدة مما يدل على ثبات النموذج ككل وبالتالي يمكن الاعتماد عليه في عملية التنبؤ.

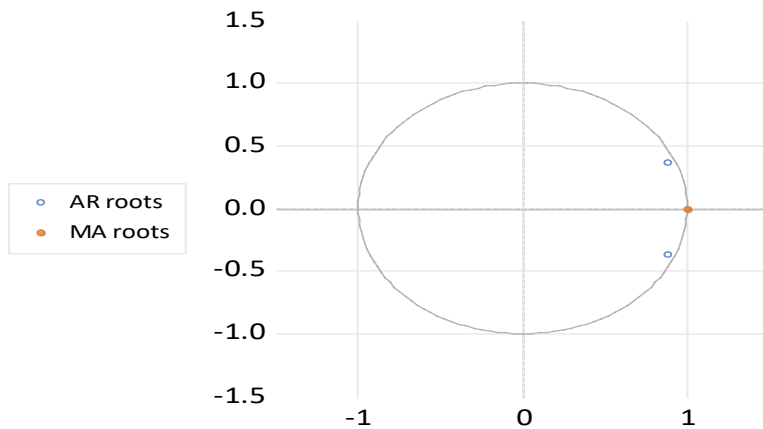
هـ- جذور كل من (AR),(MA) ودائرة الوحدة لمتغير معدل البطالة

شكل (16) أن كلاً من الجذرين الخاصين بـ (AR) يقعان داخل دائرة

الوحدة، الجذر الخاص بـ (MA) يقع على حدود دائرة الوحدة، كما يتبيّن

شكل (16) جذور كل من (MA),(AR) ودائرة الوحدة لمتغير معدل البطالة

D(LUEMP): Inverse Roots of AR/MA Polynomial(s)



المصدر: إعداد الباحثة بالاعتماد على برنامج (eviews,v.13).

جدول (22) جذور كل من (AR),(MA) ودائرة الوحدة لمتغير معدل البطالة

$0.881441 \pm 0.369661i$	0.955818	15.82254
No root lies outside the unit circle.		
MA Root(s)	Modulus	Cycle
0.999998	0.999998	
No root lies outside the unit circle.		

المصدر: إعداد الباحثة بالاعتماد على برنامج (eviews,v.13).

4- مرحلة التنبؤ Forecasting

أ- التنبؤ بمعدل النمو الحقيقي

بعد اختبار النموذج المقترن واختبار مدى صلاحيته يمكننا التنبؤ بمعدل النمو الحقيقي وهذا بالاعتماد على النموذج المتحصل عليه اريما (1,1,2)، ويمثل

المعدل بنسبة 3.7% في عام 2024 ويرتفع تدريجياً ليصل إلى 4.1% في عام 2030، ويلاحظ أن المعدلات المتوقعة ما زالت بعيدة عن المعدل المستهدف في رؤية مصر 2030 والذي يبلغ 12%， وهو ما يشير إلى وجود فجوة واضحة بين القيم المتوقعة والمستهدف في رؤية مصر 2030.

جدول (23) نتائج التنبؤ بمعدل النمو الحقيقي في مصر خلال الفترة (2024-2030)، ويتبين من النتائج المتحصل عليها وجود اتجاه تصاعدي طفيف في معدلات النمو، حيث يتوقع أن يبدأ

جدول (23) القيم المتوقعة لمعدل النمو الحقيقي في مصر خلال الفترة (2030-2024)

المتوقع (%)	السنة
3.7	2024
3.8	2025
3.9	2026
4.0	2027
4.1	2028

4.1
4.1
2029
2030

المصدر: إعداد الباحثة بالاعتماد على برنامج (eviews,v.13).

شكل (17) القيم الحقيقية - المتوقعة لمعدل النمو الحقيقي خلال الفترة (2030-2000)



المصدر: إعداد الباحثة بالاعتماد على برنامج (eviews,v.13).

من الناتج المحلي الإجمالي في مصر يُتوقع أن يشهد تحسناً طفيفاً خلال الفترة (2030-2024)، حيث يُتوقع أن يرتفع من نحو 4.4 ألف دولار في عام 2024 إلى 5 آلاف دولار في عام 2030، ويُلاحظ أن المعدلات المتوقعة ما زالت بعيدة عن المعدل المستهدف في رؤية مصر 2030 والذي يبلغ 10 آلاف دولار، وهو ما يشير إلى وجود فجوة واضحة بين القيم المتوقعة والمستهدف في رؤية مصر 2030.

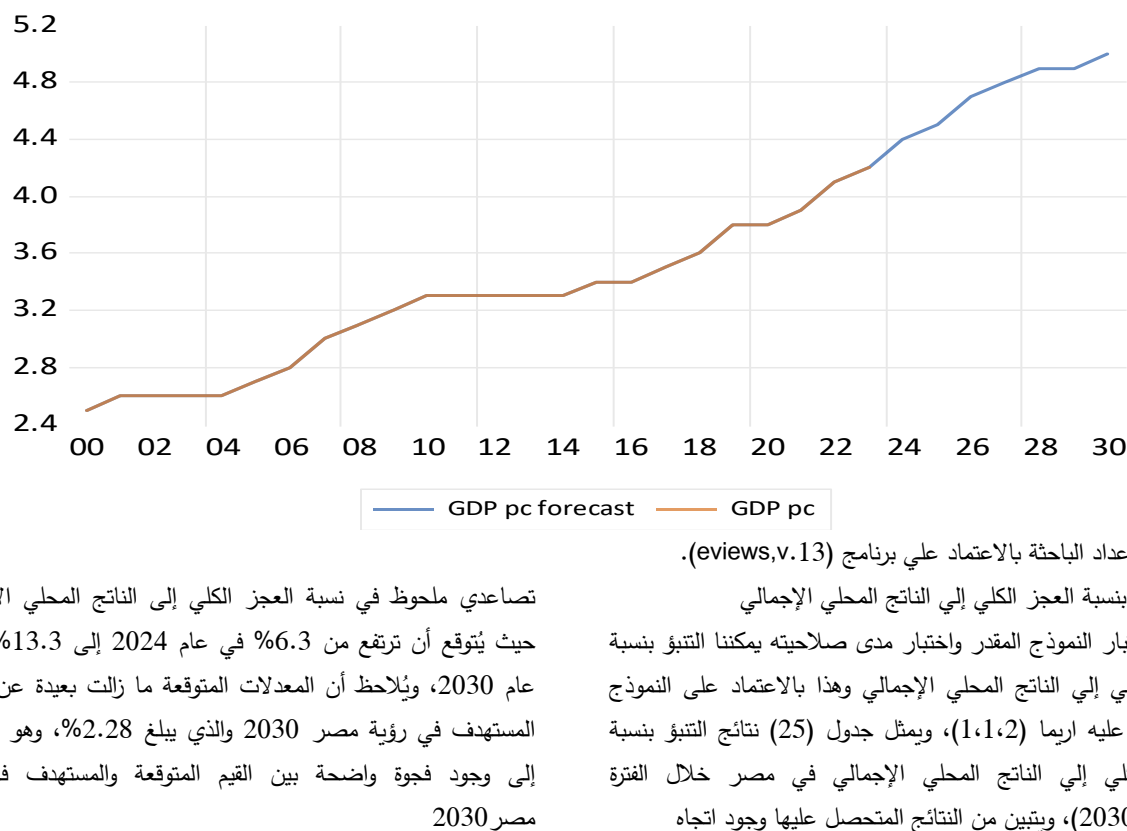
بـ التنبؤ بنصيب الفرد من الناتج المحلي الإجمالي بعد اختبار النموذج المقدر واختبار مدى صلاحيته يمكننا التنبؤ بنصيب الفرد من الناتج المحلي الإجمالي وهذا بالاعتماد على النموذج المتحصل عليه اريما (2,2,11)، ويمثل جدول (24) نتائج التنبؤ بنصيب الفرد من الناتج المحلي الإجمالي في مصر خلال الفترة (2030-2024)، ويتبيّن من النتائج المتحصل عليها أن نصيب الفرد

جدول (24) القيم المتوقعة لنصيب الفرد من الناتج المحلي الإجمالي في مصر خلال الفترة (2030-2024)

المتوقع (ألف دولار)	السنة
4.4	2024
4.5	2025
4.7	2026
4.8	2027
4.9	2028
4.9	2029
5.0	2030

المصدر: إعداد الباحثة بالاعتماد على برنامج (eviews,v.13).

شكل (18) القيم الحقيقة - المتوقعة لنصيب الفرد من الناتج المحلي الإجمالي خلال الفترة (2030-2000)



تصادي ملحوظ في نسبة العجز الكلي إلى الناتج المحلي الإجمالي، حيث يتوقع أن ترتفع من 6.3% في عام 2024 إلى 13.3% بحلول عام 2030، ويلاحظ أن المعدلات المتوقعة ما زالت بعيدة عن المعدل المستهدف في رؤية مصر 2030 والذي يبلغ 2.28%， وهو ما يشير إلى وجود فجوة واضحة بين القيم المتوقعة والمستهدف في رؤية مصر 2030.

المصدر: إعداد الباحثة بالاعتماد علي برنامج (eviews,v.13) .
ج- التباين بنسبة العجز الكلي إلي الناتج المحلي الإجمالي
بعد اختبار التموزج المقدر واختبار مدى صلاحيته يمكننا التباين بنسبة العجز الكلي إلي الناتج المحلي الإجمالي وهذا بالاعتماد على التموزج المتحصل عليه اريما (1,1,2)، ويمثل جدول (25) نتائج التباين بنسبة العجز الكلي إلي الناتج المحلي الإجمالي في مصر خلال الفترة 2024-2030، ويتبع من النتائج المتحصل عليها وجود اتجاه

جدول (25) القيم المتوقعة لنسبة العجز الكلي إلى الناتج المحلي الإجمالي في مصر خلال الفترة (2030-2024)

المتوقع (%)	السنة
6.3	2024
7.1	2025
8.4	2026
10.1	2027
11.8	2028
13.0	2029
13.3	2030

المصدر: إعداد الباحثة بالاعتماد علي برنامج (eviews,v.13)

شكل(19) القيم الحقيقية -المتواعدة لنسبة العجز الكلي الناتج المحلي الإجمالي خلال الفترة (2000-2030)



المصدر: إعداد الباحثة بالاعتماد على برنامج (eviews,v.13).

الاقتصادية العالمية والمحلية. ومع ذلك، يشير التقديرات إلى انخفاض سريع في معدل التضخم ليصل إلى 9.3% في عام 2025، ثم يستقر عند 7.6% خلال السنوات من 2026 إلى 2030، وعلى الرغم من هذا الانخفاض في معدل التضخم، ويلاحظ أن المعدلات المتوقعة ما زالت بعيدة عن المعدل المستهدف في رؤية مصر 2030 والذي يبلغ 5.3%， وهو ما يشير إلى وجود فجوة بين القيم المتوقعة والمستهدف في رؤية مصر 2030.

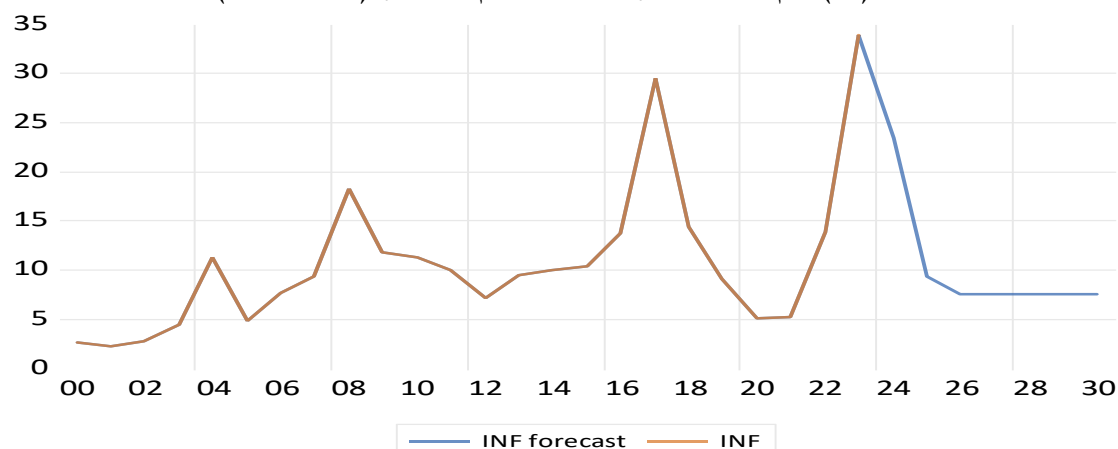
د- التنبؤ بمعدل التضخم بعد اختبار النموذج المقدر وختبار مدى صلاحيته يمكننا التنبؤ بمعدل التضخم وهذا بالاعتماد على النموذج المتحصل عليه اريما (2,1,0)، ويمثل جدول (26) نتائج التنبؤ بمعدل التضخم في مصر خلال الفترة (2024-2030)، ويتبين من النتائج المتحصل عليها أن معدل التضخم في مصر يتوقع أن يشهد تراجعاً ملحوظاً بعد ذروته في عام 2024، والذي بلغ فيه 23.5%， وهي نسبة مرتفعة تعكس الأثر التراكمي للأزمات

جدول (26) القيم المتوقعة لمعدل التضخم في مصر خلال الفترة (2030-2024)

السنة	المتوقع (%)
2024	23.5
2025	9.3
2026	7.6
2027	7.6
2028	7.6
2029	7.6
2030	7.6

المصدر: إعداد الباحثة بالاعتماد على برنامج (eviews,v.13).

شكل (20) القيم الحقيقة - المتوقعة لمعدل التضخم خلال الفترة (2030-2000)



المصدر: إعداد الباحثة بالاعتماد على برنامج (eviews,v.13).

هـ- التنبؤ بمعدل البطالة

ويمثل حيث يبدأ من 8.2% في عام 2024 ويصل إلى 14.0% بحلول عام 2029 و 2030، ويلاحظ أن المعدلات المتوقعة ما زالت بعيدة عن المعدل المستهدف في رؤية مصر 2030 والذي يبلغ 5%， وهو ما يشير إلى وجود فجوة واضحة بين القيم المتوقعة والمستهدف في رؤية مصر 2030.

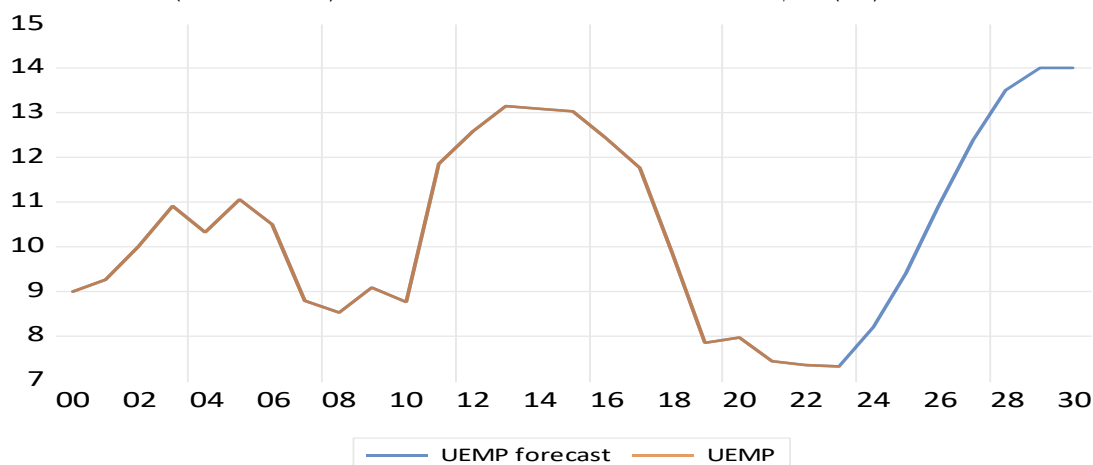
بعد اختبار النموذج المقدر واختبار مدى صلاحيته يمكننا التنبؤ بمعدل البطالة وهذا بالاعتماد على النموذج المتحصل عليه اريما (1,1,2)، جدول (27) نتائج التنبؤ بمعدل البطالة في مصر خلال الفترة (2024-2030)، ويتبين من النتائج المتحصل عليها أن معدل البطالة في مصر يتوقع أن يرتفع بشكل تدريجي خلال الفترة (2024-2030)،

جدول (27) القيم المتوقعة لمعدل البطالة في مصر خلال الفترة (2030-2024)

السنة	المتوقع (%)
2024	8.2
2025	9.4
2026	10.9
2027	12.4
2028	13.5
2029	14.0
2030	14.0

المصدر: إعداد الباحثة بالاعتماد علي برنامج (eviews,v.13).

شكل (21) القيم الحقيقة - المتوقعة لمعدل البطالة خلال الفترة (2030-2000)



المصدر: إعداد الباحثة بالاعتماد علي برنامج (eviews,v.13).

المراجع

1. دين مختارية، فاطمة الزهراء زرواط، التنبؤ بالطاقة الكهربائية المنتجة عن طريق الطاقة الشمسية في الجزائر باستخدام منهجة بوكس جينكيرز، المجلة الجزائرية للعلوم والسياسات الاقتصادية، المجلد (10)، 2019.
 2. رابح بلعياس، فعالية التنبؤ باستخدام النماذج الإحصائية في اتخاذ القرارات، موسوعة الاقتصاد والتمويل الإسلامي، جامعة محمد بوضياف، الجزائر، 2009.
 3. عبدالله محمود محمد، محمد حسين، التنبؤ بعرض النقد في المملكة العربية السعودية باستخدام نماذج السلسل الرزمية (ARIMA)، مجلة مركز صالح كامل للاقتصاد الإسلامي، جامعة الأزهر، المجلد (49)، العدد (2)، 2013.
4. على عبد الظاهر حسن، عبد الطيف حسن شومان، تحليل العلاقات التوازنية طويلة الأجل باستخدام اختبارات جذر الوحدة وأسلوب دمج النماذج المرتبطة ذاتياً ونماذج توزيع الإبطاء (ARDL)، المجلة العراقية للعلوم الاقتصادية، المجلد (9)، العدد (34)، 2013.
5. ماجدة مدحت حسين، عبدالله عبد المقصود أحمد، أسماء محمد الطوخى، محمد سعيد أمين، استخدام نماذج (ARIMA) للتنبؤ بالمتغيرات الاقتصادية للبرتقال في مصر، المجلة العلمية للعلوم الزراعية، كلية الزراعة، جامعة بنها، المجلد (5)، العدد (4)، 2023.
6. محمد سعيد أبو الفتوح، نموذج قياسي للتنبؤ بنصيب الفرد من الناتج المحلي الإجمالي في مصر باستخدام منهجة الإنحدار الذاتي المتكامل للأوساط المتحركة (ARIMA)، المجلة المصرية للتنمية

- 1- Gujarati, Damodar N., & Porter, Dawn C. (2009). Basic Econometrics (5th ed.). U.S.A.: McGraw-Hill. والتخطيط، معهد التخطيط القومي، مصر، المجلد (٣)، العدد(٣)، ٢٠٢٣.
- 2- United Nations (2015). Transforming our world: the 2030 Agenda for Sustainable Development. إحصاءات البنك الدولي. ٨. وزارة المالية، التقرير المالي الشهري، نهاية يونيو من السنة، سنوات مختلفة.

Economic Analysis of the Performance Indicators of the Economic Dimension to Achieve the Sustainable Development Strategy: Egypt Vision 2030

Nadia Ezzat Mattery Gaad Ibrahim*; Mohamed Ghareeb Mahdi; Mohamed Altabei Ali
Agriculture Economics, Extension & Rural Sociology Department, Faculty of Agriculture, Suez Canal
University, Ismailia, Egypt

Abstract:

This study aims to analyze the performance indicators of the economic dimension within the framework of Egypt's Vision 2030 by forecasting five key economic indicators: real GDP growth rate, real GDP per capita, overall fiscal deficit as a percentage of GDP, inflation rate, and unemployment rate. The analysis was conducted using time series models (ARIMA).

The results indicate that the actual economic indicators remain far from the targets set in Egypt's Vision 2030. It is expected that the real GDP growth rate will not exceed 4.1% by 2030, compared to the targeted 12%. Real GDP per capita is projected to reach only \$5,000, while the target is \$10,000. The fiscal deficit is anticipated to rise to 13.3%, compared to the target of reducing it to 2.28%. Inflation is expected to remain above the 5.3% target, despite forecasts suggesting a decrease to 7.6%. The unemployment rate is also expected to increase to 14%, whereas the target is 5%.

The findings reveal a significant gap between the forecasted trends of the economic indicators and the targets outlined in Egypt's Vision 2030. The study recommends conducting more in-depth analytical research to investigate the causes of these gaps, with the aim of supporting decision-makers in adopting more effective policies that contribute to achieving the goals of sustainable development in line with Egypt's Vision 2030.

Keywords: Sustainable Development – Economic Dimension – Egypt Vision 2030 – ARIMA Model.